

# Férmions ultra-frios em redes óticas

Thereza C de L Paiva

**Instituto de Física**  
Universidade Federal do Rio de Janeiro



**Colóquio Interinstitucional**  
**CBPF - IMPA - UFF - UFRJ**

**18 de abril de 2012**

# Sumário

Átomos ultrafrios armadilhados

Bósons e férmions

Redes óticas

Bósons e férmions

Férmions fortemente correlacionados em geral

Férmions fortemente correlacionados em armadilhas

Protocolo para observar antiferromagnetismo

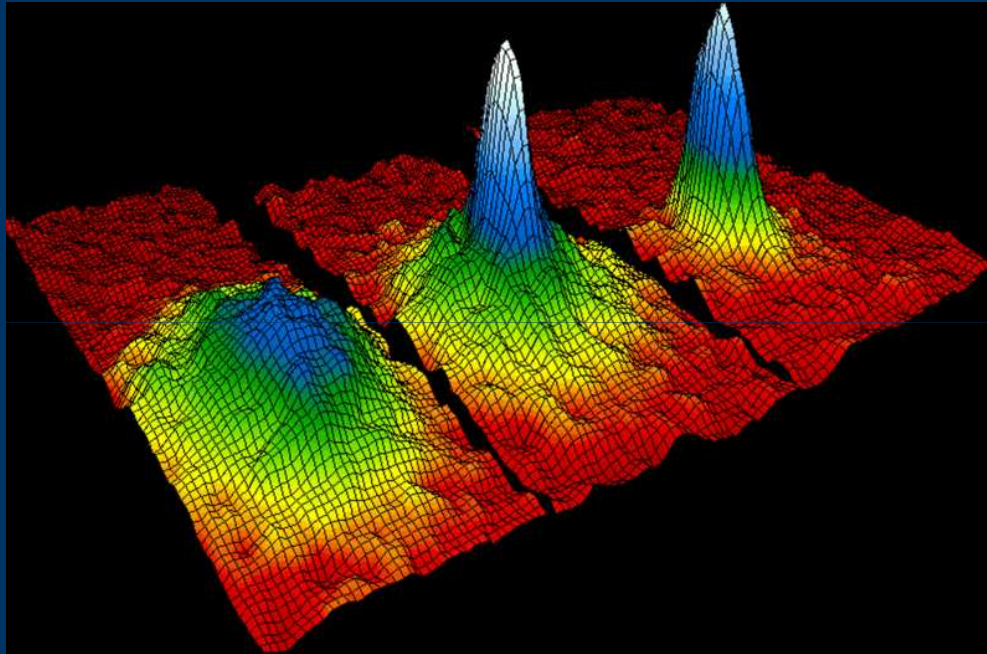
Conclusões

# Átomos ultrafrios armadilhados

# Observation of Bose-Einstein Condensation in a Dilute Atomic Vapor

M. H. Anderson, J. R. Ensher, M. R. Matthews, C. E. Wieman,  
E. A. Cornell

Science  
95



Condensados de  $^{87}\text{Rb}$

$2,5 \times 10^{12}$  átomos/cm $^3$

170nK

15 s

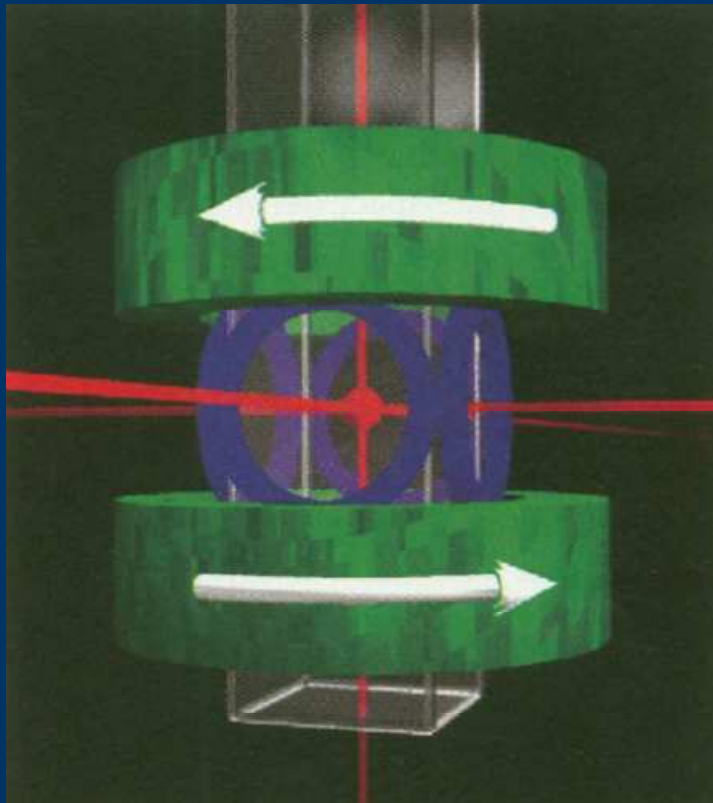
**Eric A. Cornell**  
**Wolfgang Ketterle**  
**Carl E. Wieman**



**2001**

**Bósons**

# Armadiilha magneto ótica



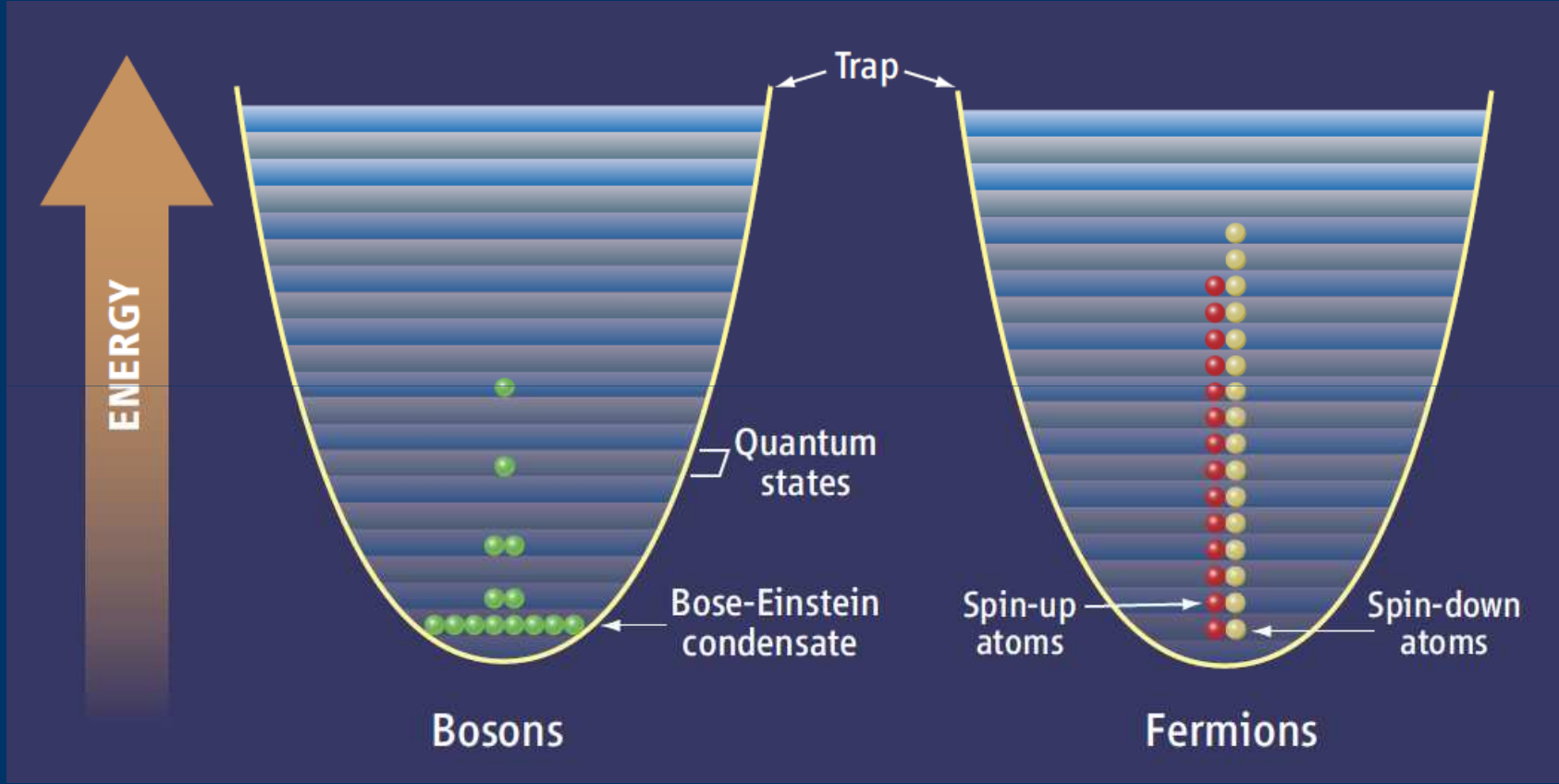
**Fig. 1.** Schematic of the apparatus. Six laser beams intersect in a glass cell, creating a magneto-optical trap (MOT). The cell is 2.5 cm square by 12 cm long, and the beams are 1.5 cm in diameter. The coils generating the fixed quadrupole and rotating transverse components of the TOP trap magnetic fields are shown in green and blue, respectively. The glass cell hangs down from a steel chamber (not shown) containing a vacuum pump and rubidium source. Also not shown are coils for injecting the rf magnetic field for evaporation and the additional laser beams for imaging and optically pumping the trapped atom sample.

Potencial confinante

Bósons

x

Férmions



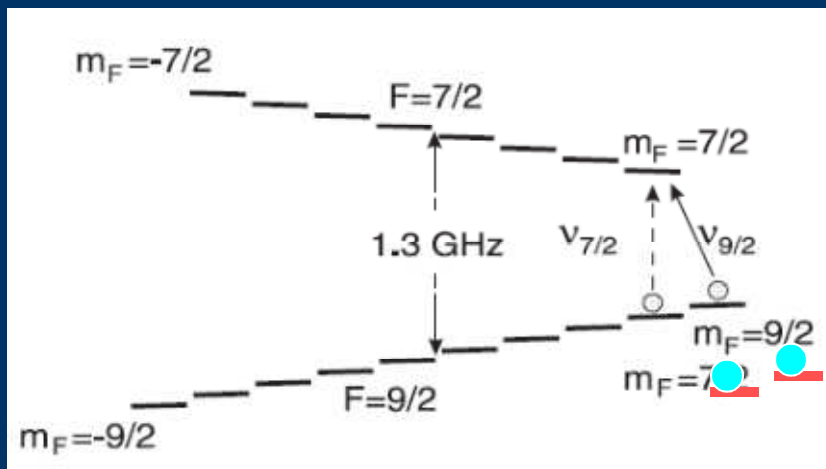
# Férmions

Science  
1999

## Onset of Fermi Degeneracy in a Trapped Atomic Gas

B. DeMarco and D. S. Jin\*†

40K



Estados  
hiperfinos

$|F=9/2, M_F=9/2\rangle$

$|F=9/2, M_F=7/2\rangle$

20% systematic uncertainty in  $T/T_F$

# Enorme atividade experimental

## Creation of ultracold molecules from a Fermi gas of atoms

Cindy A. Regal\*, Christopher Ticknor\*, John L. Bohn\* & Deborah S. Jin†



Nature 2003

## Bose-Einstein Condensation of Molecules

S. Jochim,<sup>1</sup> M. Bartenstein,<sup>1</sup> A. Altmeyer,<sup>1</sup> G. Hendl,<sup>1</sup> S. Riedl,<sup>1</sup> C. Chin,<sup>1</sup> J. Hecker Denschlag,<sup>1</sup> R. Grimm<sup>1,2\*</sup>



Science 2003

## Fermionic Superfluidity with Imbalanced Spin Populations

Martin W. Zwierlein,\* André Schirotzek, Christian H. Schunck, Wolfgang Ketterle

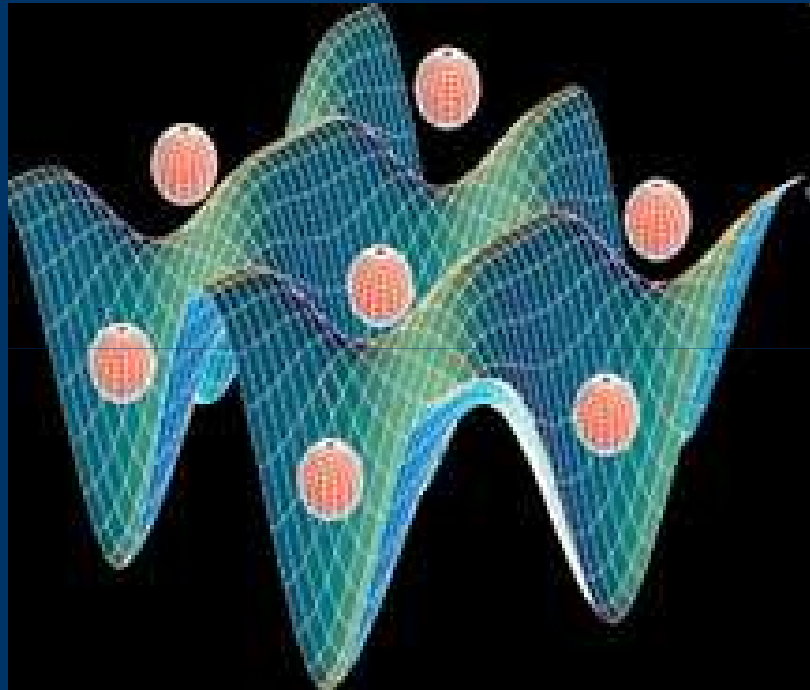


Science 2006



# Redes ópticas

# Redes ópticas



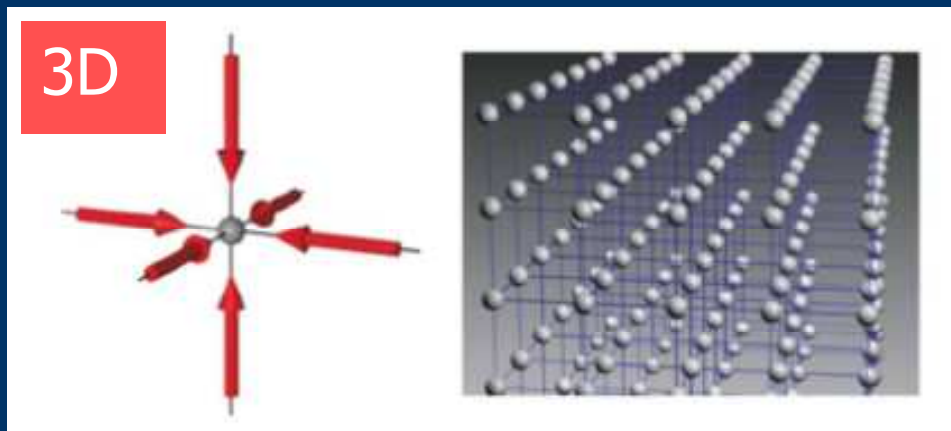
Potencial confinante

+

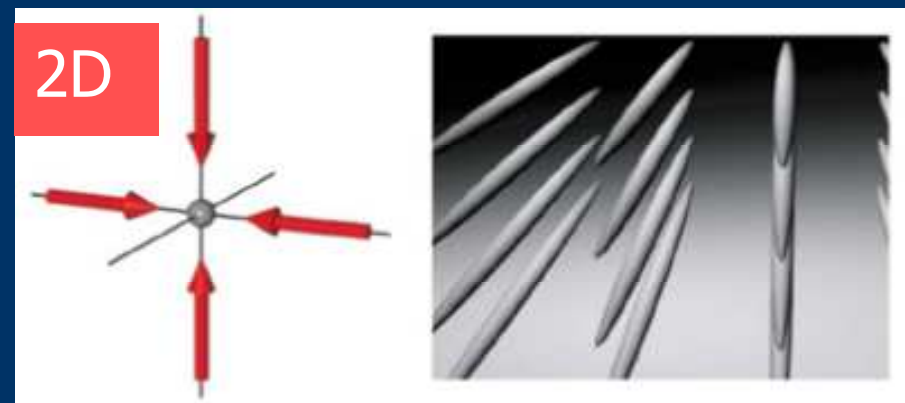
Potencial periódico

# Redes óticas

## Dimensão



1D



# Redes óticas

Potencial periódico

+

Potencial confinante

$V_0$

$V_{\perp}$

$$a = \lambda/2$$

$\lambda \Rightarrow$  Comprimento de onda do laser

Laser

Confinamento magnético

# Escala de energia

$$E_R = \frac{2\pi^2\hbar^2}{m\lambda^2}$$

Energia de recuo

Laser YAG  $\lambda=1.06\mu\text{m}$  e átomos de  ${}^6\text{Li}$



$$E_R \approx 1.4 \mu\text{K} \approx 29.1 \text{ kHz}$$

nK -  $\mu\text{K}$



Densidades  $\sim 10^{14}$  átomos/cm<sup>3</sup>

# Espalhamento elástico

átomos iguais  $\Rightarrow$  estados hiperfinos diferentes

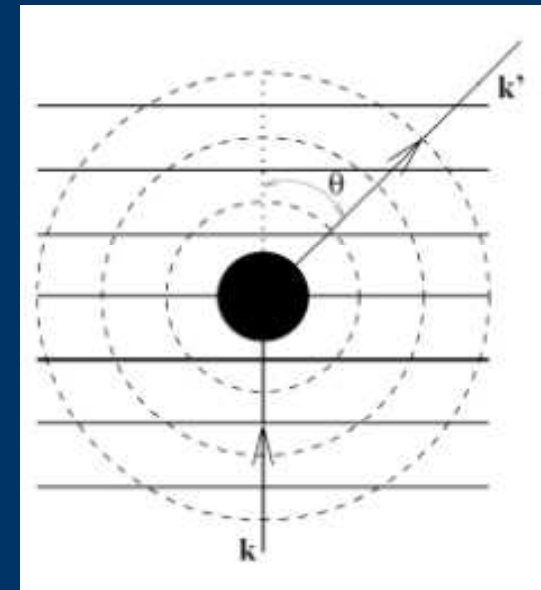
$$|S \ M_S\rangle \left\{ \begin{array}{l} |\uparrow\rangle \\ |\downarrow\rangle \end{array} \right.$$

$$r \rightarrow \infty \quad \psi(\vec{r}) \sim e^{i\vec{k}\cdot\vec{r}} + \underbrace{f(\vec{k}, \vec{k}') \frac{e^{i\vec{k}'\cdot\vec{r}}}{r}}$$

Scattering amplitude

Decomposição em ondas parciais

$$f(\vec{k}, \vec{k}') = \sum_{l=0}^{\infty} f_l(k) P_l(\cos \theta)$$



# Sistema ultrafrio e diluído

Partículas lentas



$$f_0(k) \cong \frac{\delta_0(k)}{k} = -a_s$$



$$k \rightarrow 0$$

s-wave:  $l = 0$

s-wave scattering length

$$\sigma_0 = 4\pi a_s^2$$

# Ressonâncias de Feshbach

Átomos em auto-estados do operador de spin

$$|S \ M_S\rangle \left\{ \begin{array}{l} |\uparrow\rangle \\ |\downarrow\rangle \end{array} \right.$$

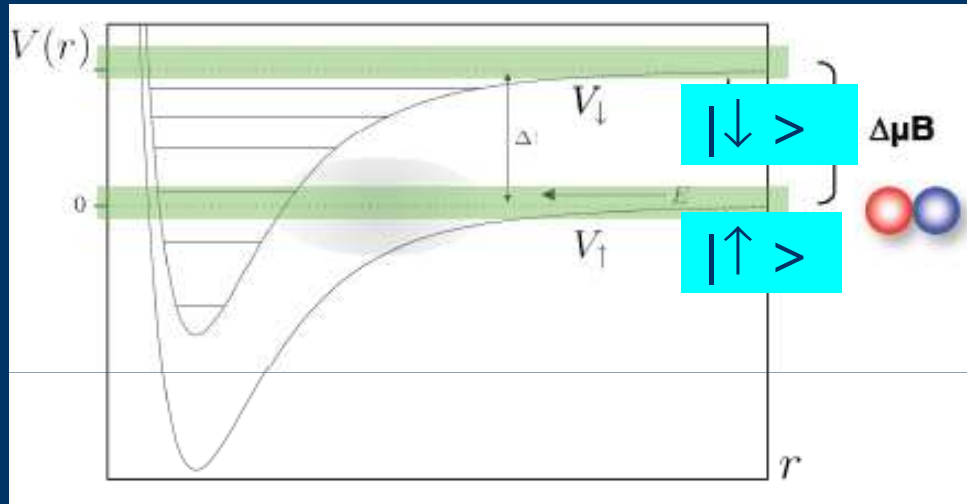
Na presença de um campo magnético

Efeito Zeeman

$$\Delta E = E(\uparrow) - E(\downarrow) = \Delta\mu B$$



# Ressonância de Feshbach



**Zeeman splitting**

$$\Delta E = E(\uparrow) - E(\downarrow) = \Delta\mu B$$

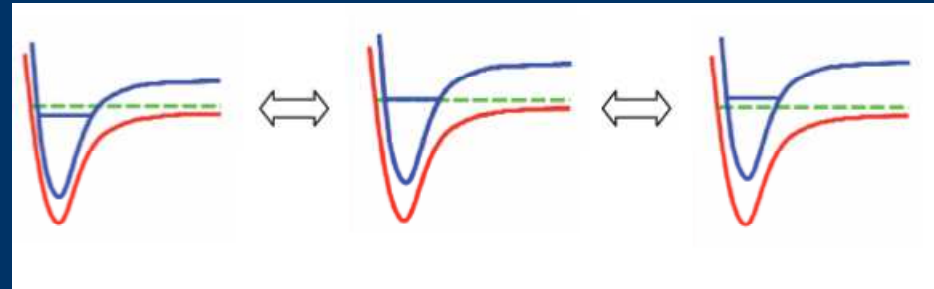
**Ressonância de Feshbach**

$$E_{\text{coll}} = E_{\infty}$$

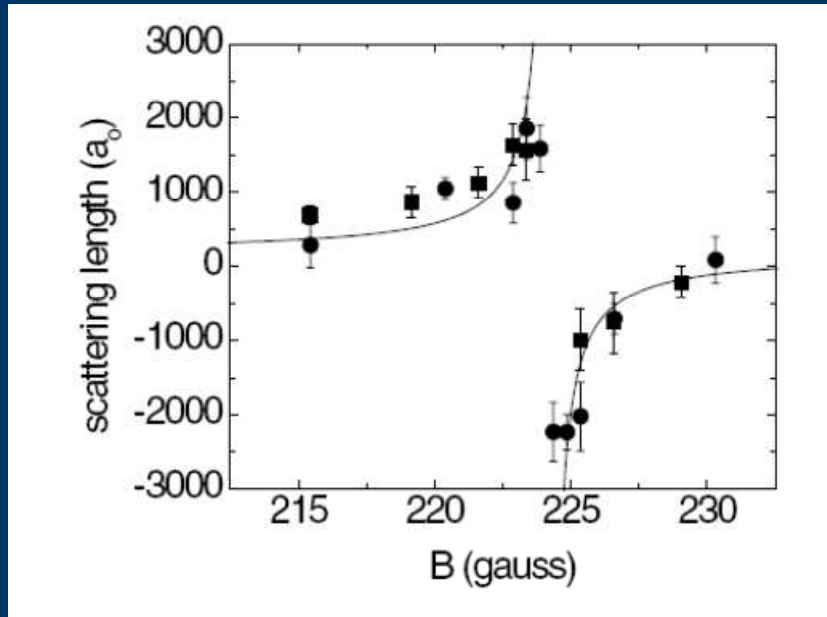
$\Delta\mu B$



ajustável



# s-wave scattering length



Regal e Jin 2003

$^{40}\text{K} \rightarrow$  férmion

Spin  $S=9/2$

Positivo ou negativo

$$a(B) = \left( 1 - \frac{\Delta B}{B - B_0} \right)$$

# Creation of ultracold molecules from a Fermi gas of atoms

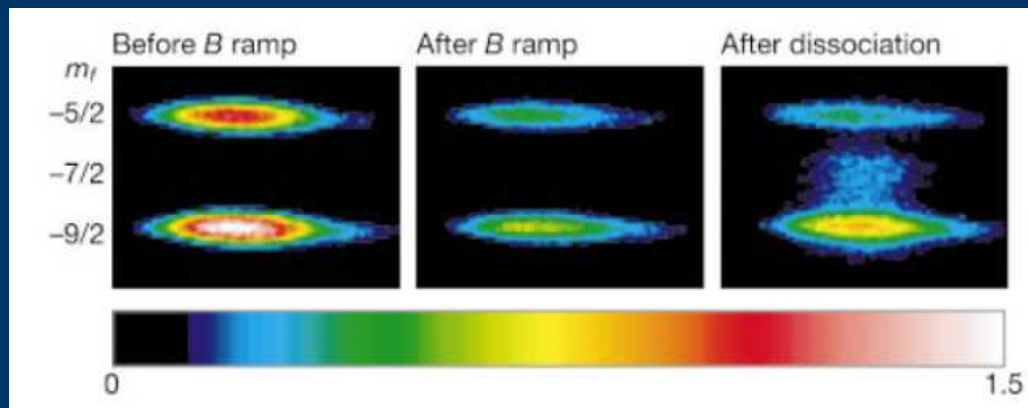
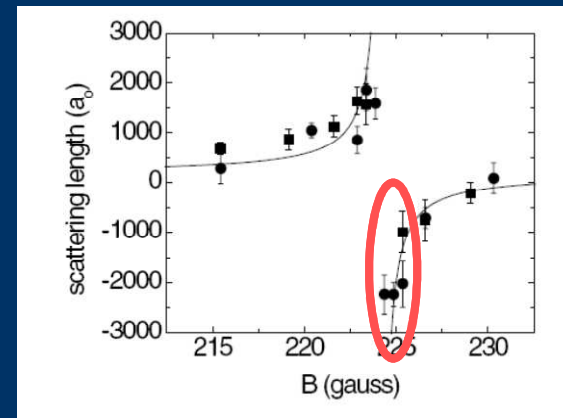
Cindy A. Regal\*, Christopher Ticknor\*, John L. Bohn\* & Deborah S. Jin†

Nature  
2003

$|F=9/2, MF=-5/2\rangle$

$|F=9/2, MF=-9/2\rangle$

$^{40}\text{K}_2$



$a_s > 0$

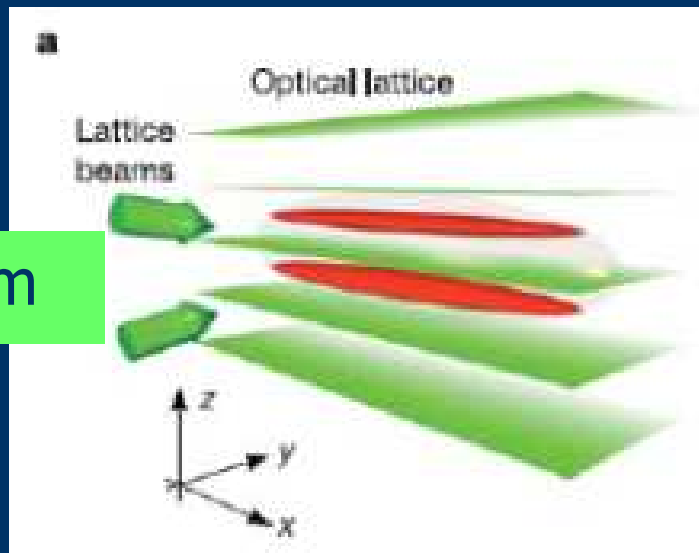
Interação  
atrativa

# Berezinskii-Kosterlitz-Thouless crossover in a trapped atomic gas

Zoran Hadzibabic<sup>1</sup>, Peter Krüger<sup>1</sup>, Marc Cheneau<sup>1</sup>, Baptiste Battelier<sup>1</sup> & Jean Dalibard<sup>1</sup>

<sup>87</sup>Rb

Nature 2006



$d_z = 3 \text{ } \mu\text{m}$

$d = 2$

$$T < T_{KT}$$

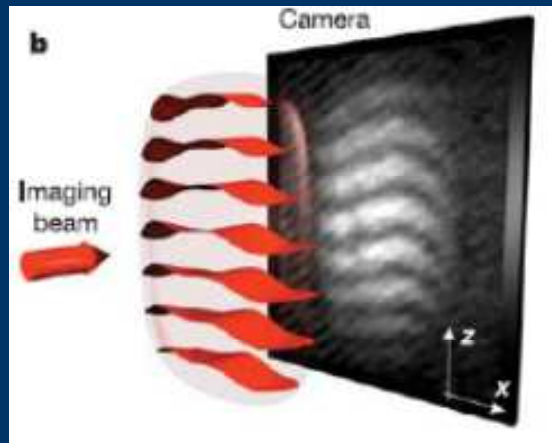
$$T > T_{KT}$$

$$\Gamma(r) \sim r^{-\eta(T)}$$

$$\Gamma(r) \sim e^{\frac{-r}{\xi(T)}}$$

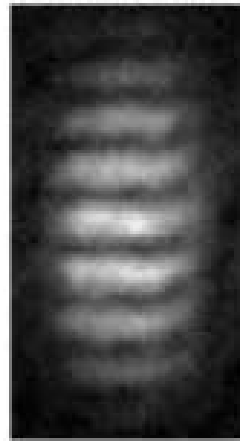
$120 \times 10 \times 0.2 \text{ } \mu\text{m}^3$

# Transição de fase topológica

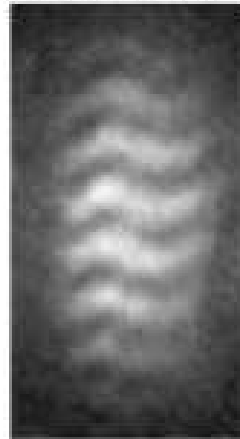


$$k_B T_{KT} = \pi \rho_s / 2$$

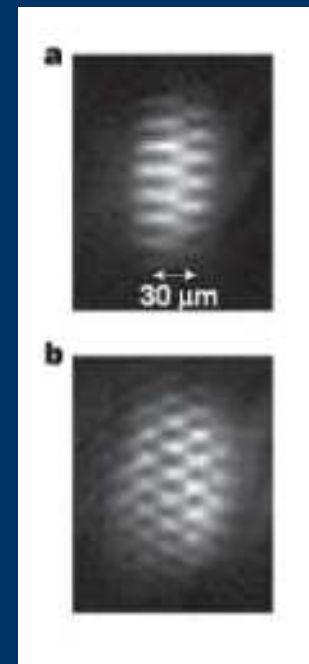
Low temperature



High temperature



Proliferação de  
vórtices livres a  
Temperaturas altas



# Fases ordenadas

Bósons

**Quantum phase transition from a superfluid to a Mott insulator in a gas of ultracold atoms**

Markus Greiner\*, Olaf Mandel\*, Tilman Esslinger†, Theodor W. Hänsch\* & Immanuel Bloch\*

Nature  
2002

Condensados de  $^{87}\text{Rb}$

# A Mott insulator of fermionic atoms in an optical lattice

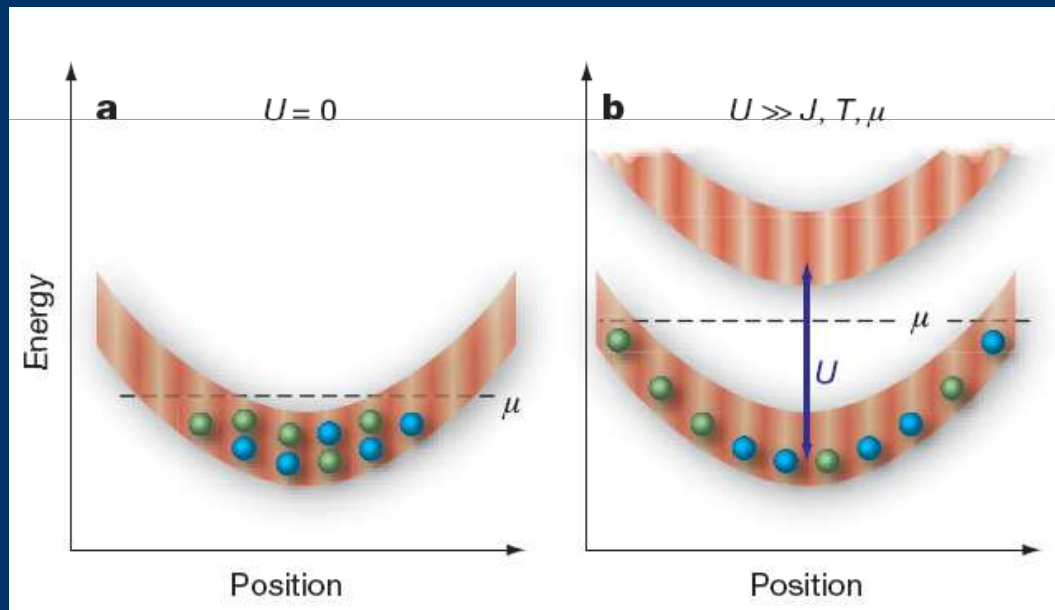
Robert Jördens<sup>1\*</sup>, Niels Strohmaier<sup>1\*</sup>, Kenneth Günter<sup>1,2</sup>, Henning Moritz<sup>1</sup> & Tilman Esslinger<sup>1</sup>

Férmions

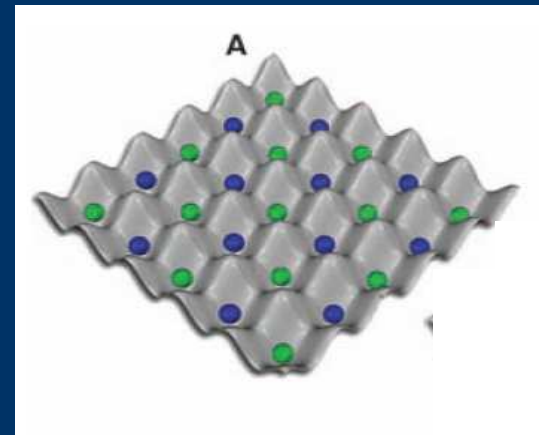
40K

Nature 2008

1 átomo por  
"sítio"

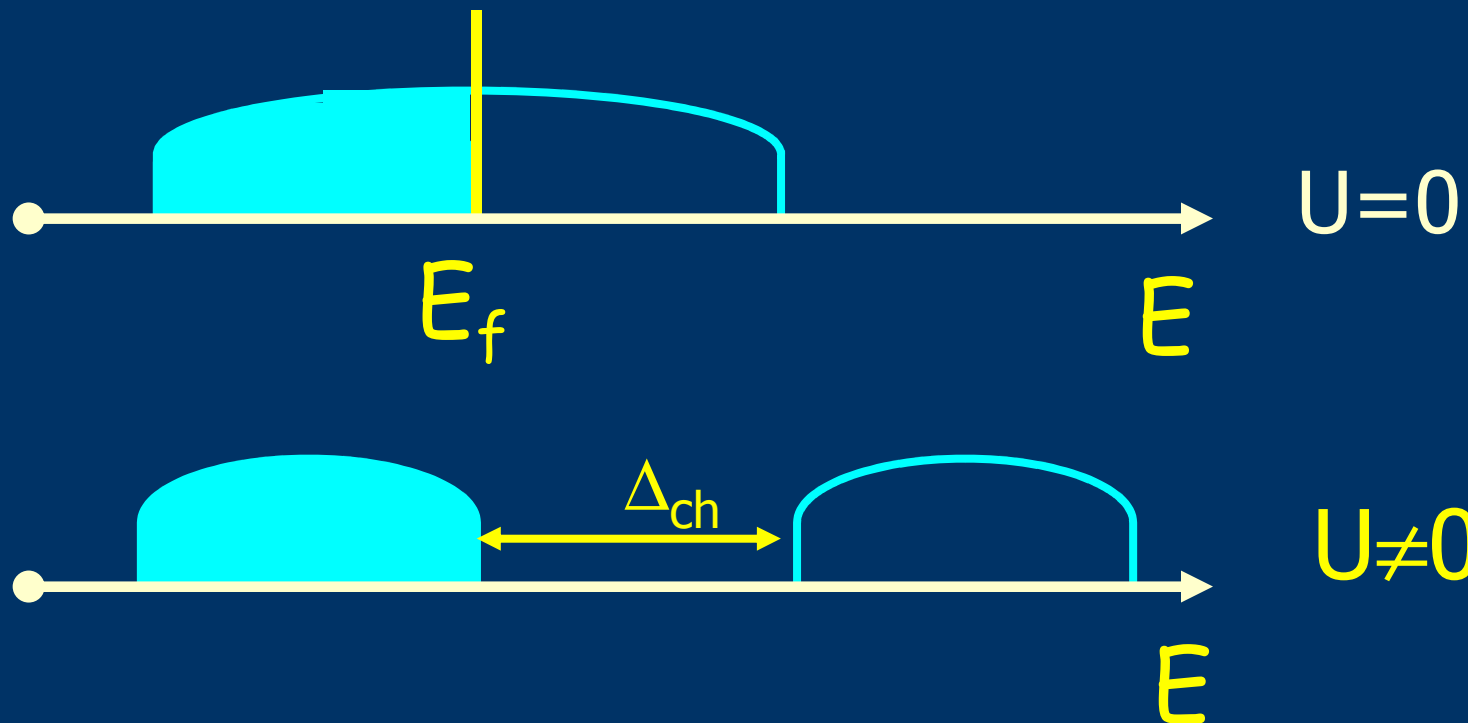


$T \sim \text{nK}$



# Transição de Mott

Metal - Isolante

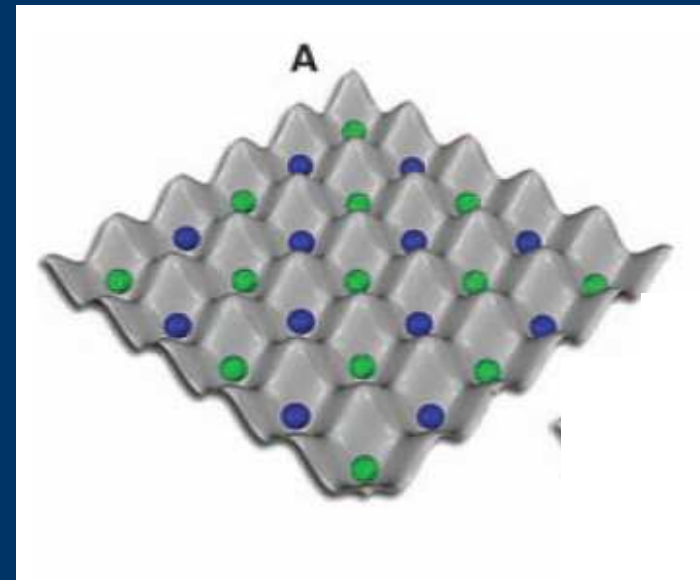
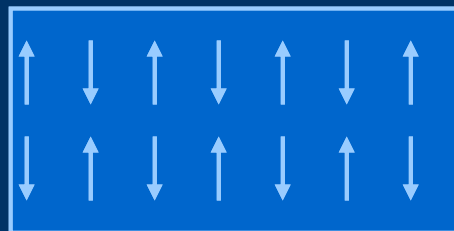




# Isolante de Mott



## Corrida em busca do antiferromagnetismo



# Experimentos

- Schneider et al. Science 322, 1520 (2008) [*Bloch*]
- Jordens et al Nature 455, 204 (2008) [*Esslinger*]
- Liao et al Nature 467, 567-569 (2010) [*Hulet*]
- Sanner et al PRL 106, 010402 (2011) [*Ketterle*]

$^{40}\text{K}$

$$|F, m_F\rangle = \left| \frac{9}{2}, \frac{-9}{2} \right\rangle \equiv |\downarrow\rangle$$

$$|F, m_F\rangle = \left| \frac{9}{2}, \frac{-7}{2} \right\rangle \equiv |\uparrow\rangle$$

$$\lambda \approx 1000\text{nm}$$

$$t \sim 10\text{nK}$$

$$U / t \sim 10$$

$$J = 4t^2 / U \approx 4\text{nK}$$

$^6\text{Li}$

$$|F, m_F\rangle = \left| \frac{1}{2}, \frac{-1}{2} \right\rangle \equiv |\downarrow\rangle$$

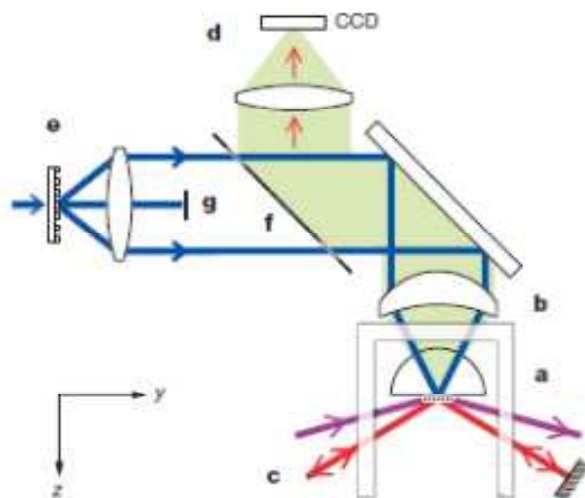
$$|F, m_F\rangle = \left| \frac{1}{2}, \frac{1}{2} \right\rangle \equiv |\uparrow\rangle$$

# Como observar?

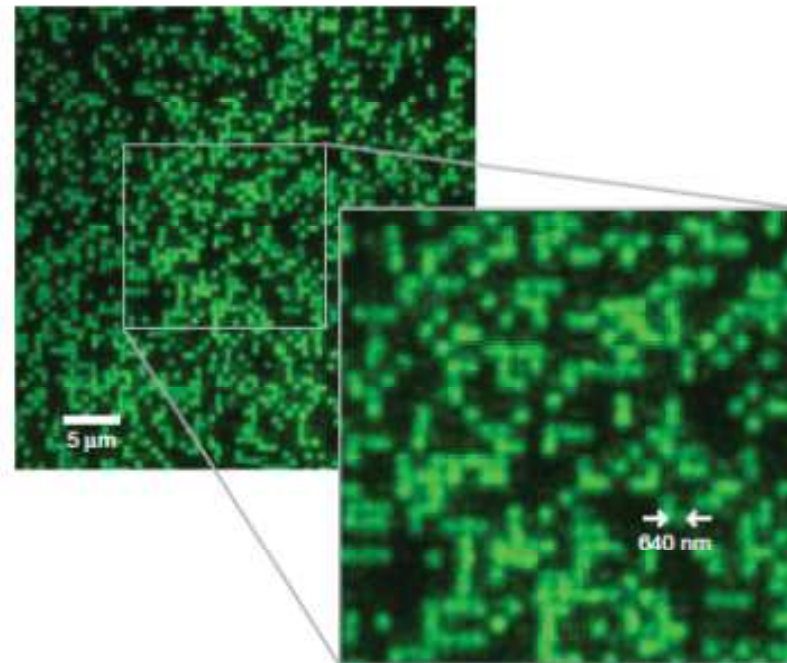
## A quantum gas microscope for detecting single atoms in a Hubbard-regime optical lattice

Waseem S. Bakr<sup>1</sup>, Jonathon I. Gillen<sup>1</sup>, Amy Peng<sup>1</sup>, Simon Fölling<sup>1</sup> & Markus Greiner<sup>1</sup>

Nature 2009



**Figure 1 | Diagram of the quantum gas microscope.** The two-dimensional atom sample (a) is located a few micrometres below the lower surface of a hemispherical lens inside the vacuum chamber. This lens serves to increase the numerical aperture (NA) of the objective lens outside the vacuum (b) by the index of refraction, from  $NA = 0.55$  to  $NA = 0.8$ . The atoms are illuminated from the side by the molasses beams (c) and the scattered fluorescence light is collected by the objective lens and projected onto a CCD camera (d). A 2D optical lattice is generated by projecting a periodic mask (e) onto the atoms through the same objective lens via a beam splitter (f). The mask is a periodic phase hologram, and a beam stop (g) blocks the residual zeroth order, leaving only the first orders to form a sinusoidal potential.



**Figure 3 | Site-resolved imaging of single atoms on a 640-nm-period optical lattice, loaded with a high density Bose-Einstein condensate.** Inset, magnified view of the central section of the picture. The lattice structure and the discrete atoms are clearly visible. Owing to light-assisted collisions and molecule formation on multiply occupied sites during imaging, only empty and singly occupied sites can be seen in the image.

# Como observar?

PRL 106, 145302 (2011)

PHYSICAL REVIEW LETTERS

week ending  
8 APRIL 2011

## Probing Nearest-Neighbor Correlations of Ultracold Fermions in an Optical Lattice

Daniel Greif, Leticia Tarruell,\* Thomas Uehlinger, Robert Jördens, and Tilman Esslinger

*Institute for Quantum Electronics, ETH Zurich, 8093 Zurich, Switzerland*

(Received 2 December 2010; revised manuscript received 1 February 2011; published 5 April 2011)

$$\mathcal{P}_{i,i+1} = \sum_{\sigma} \langle n_{i,\sigma} n_{i+1,\sigma} (1 - n_{i,\bar{\sigma}})(1 - n_{i+1,\bar{\sigma}}) \rangle,$$

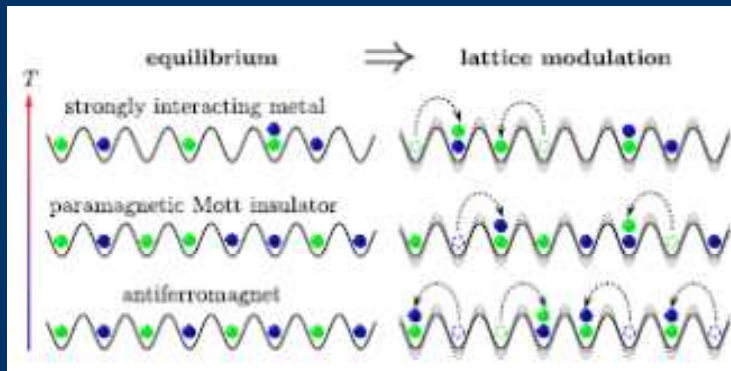
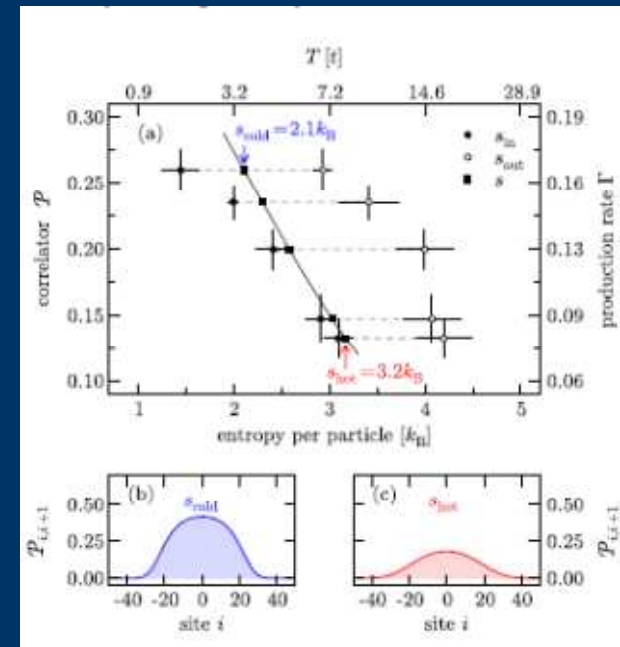
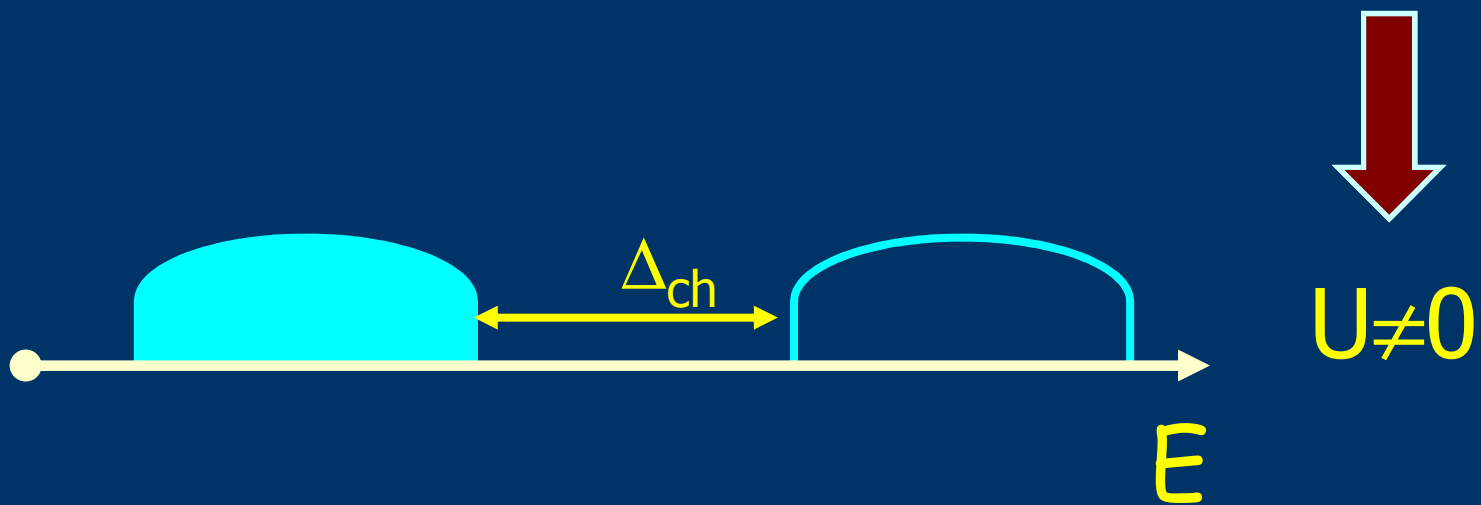


FIG. 1 (color online). Probing nearest-neighbor correlations for different phases. A periodic lattice modulation causes tunneling of particles to neighboring sites. The number of created doublons strongly depends on the state of the many-body system (strongly interacting metal, paramagnetic Mott insulator, or antiferromagnet) and can be used to determine the nearest-neighbor correlator  $\mathcal{P}_{i,i+1}$  [10].

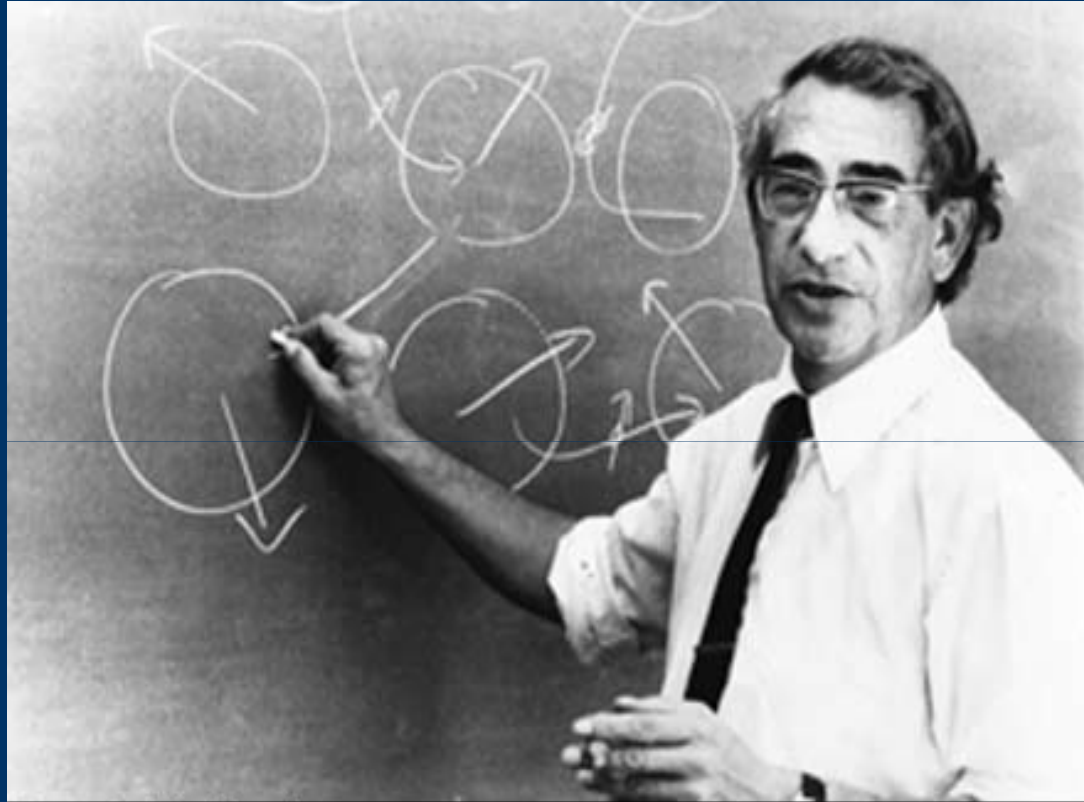


# Férmions fortemente correlacionados em redes óticas



# O modelo de Hubbard

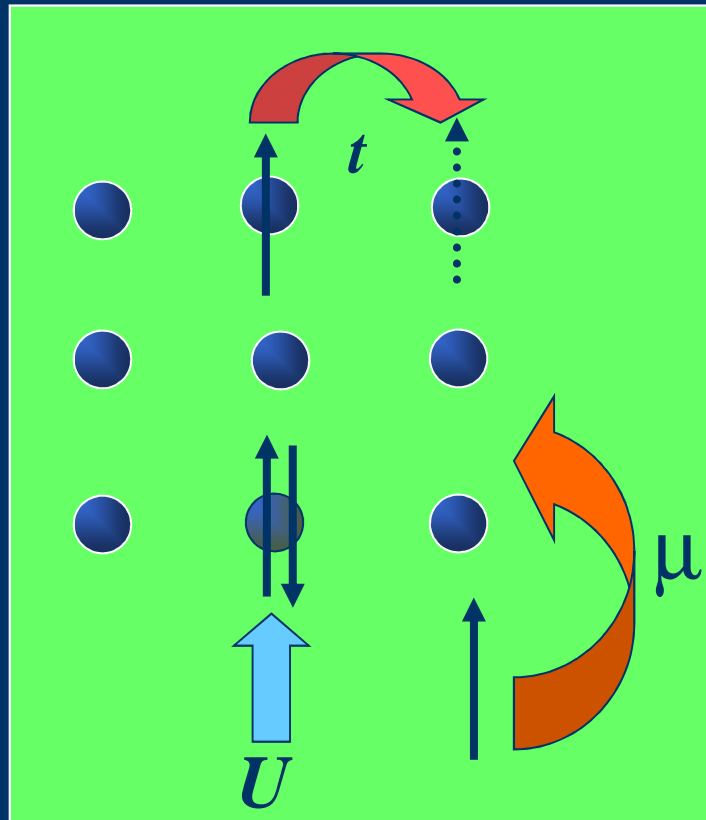
Ou o "modelo de Ising" para sistemas com férmions fortemente correlacionados



Scanned at the American  
Institute of Physics

John Hubbard (1931-1980)

# O modelo de Hubbard



$H =$

$$-t \sum_{\langle i,j \rangle \sigma} (c_{i\sigma}^+ c_{j\sigma} + c_{j\sigma}^+ c_{i\sigma})$$

$$+ U \sum_i n_{i\uparrow} n_{i\downarrow}$$

$$- \mu \sum_{i,\sigma} c_{i\sigma}^+ c_{i\sigma}$$



# Competição

Localização

X

Itinerância

$U$

$t$

Transição metal-isolante

Ordenamento magnético

# Modelo de Hubbard atrativo

$$U < 0$$

Interação atrativa

fenomenológica

Formação de pares

superfluidez



Não mais!

# Modelo **mais** simples a incorporar as correlações eletrônicas

Uma única banda

banda  $s$

Correlação eletrônica intra-sítio

Hopping de primeiros vizinhos

Sem desordem

# Modelo **mais** simples a incorporar as correlações eletrônicas

Simple demais?

Uma única banda

Correlação eletrônica intra-sítio

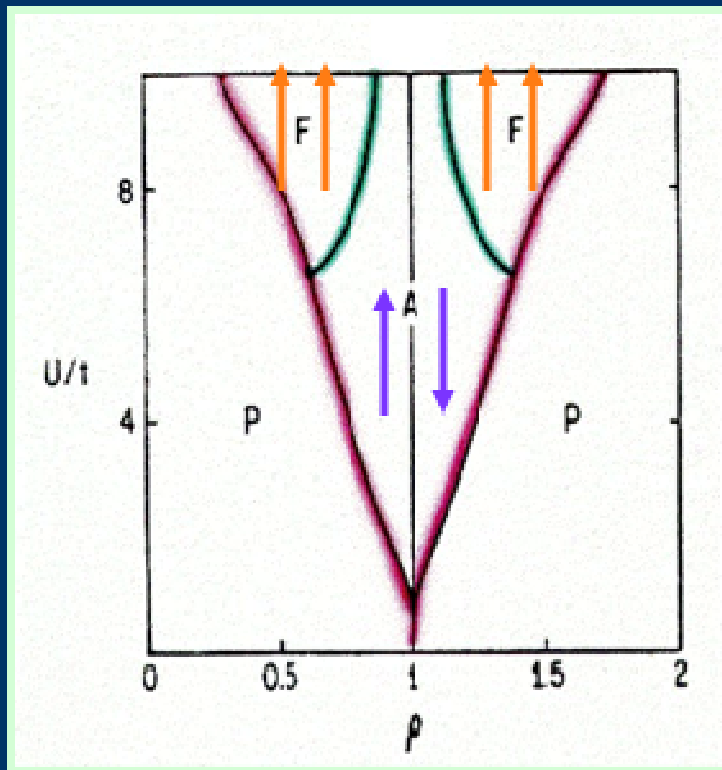
Hopping de primeiros vizinhos

Sem desordem

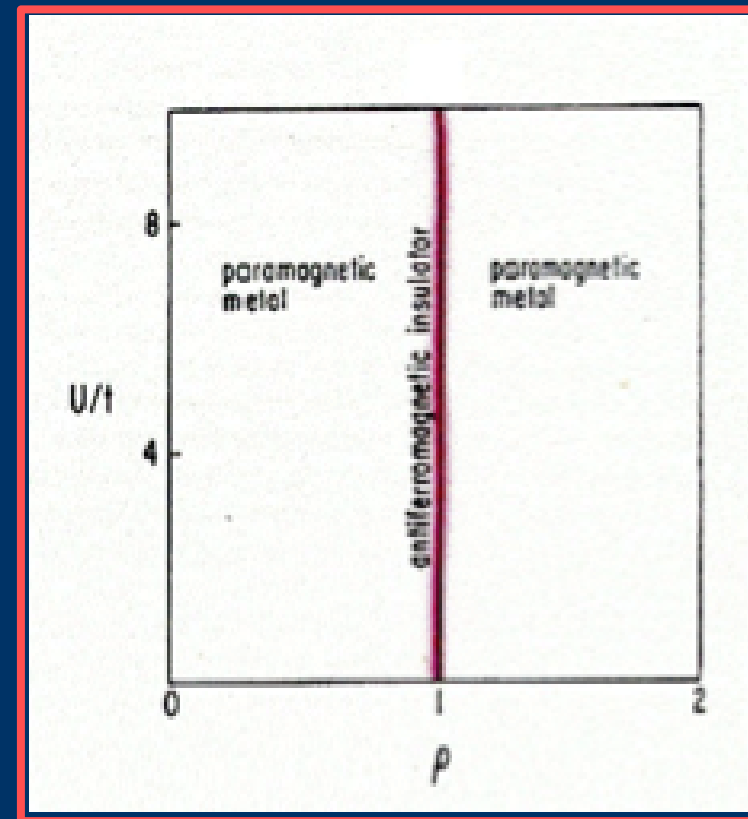
Apesar de muito simples não tem solução conhecida!

Diagrama de fase: rede quadrada a  $T = 0$

Campo Médio (Hartree-Fock)



QMC

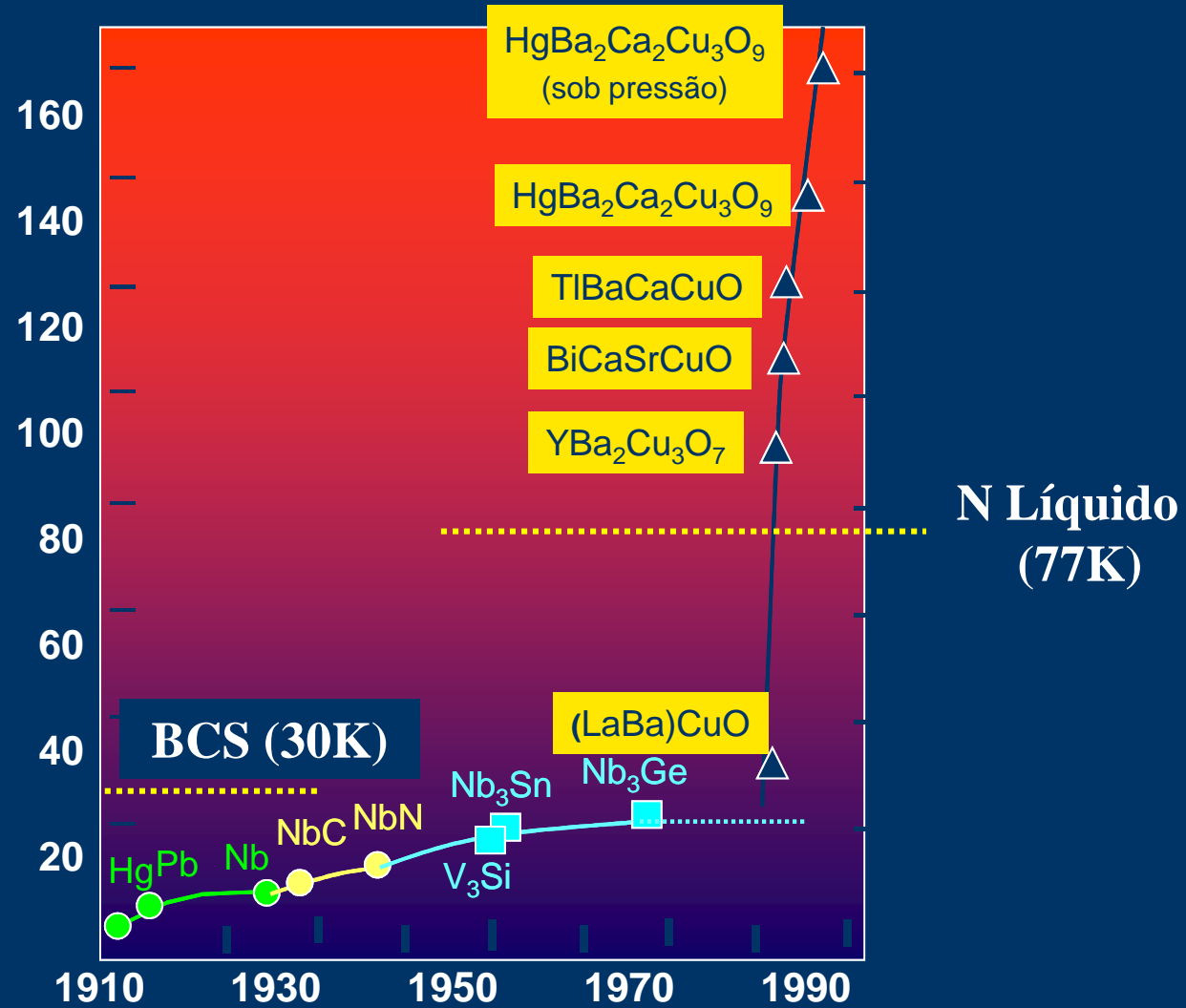


Hirsch, PRB (1985); Hirsch & Tang, PRL (1989)

**Por que estamos  
interessados no modelo de  
Hubbard hoje?**

# Materiais Supercondutores

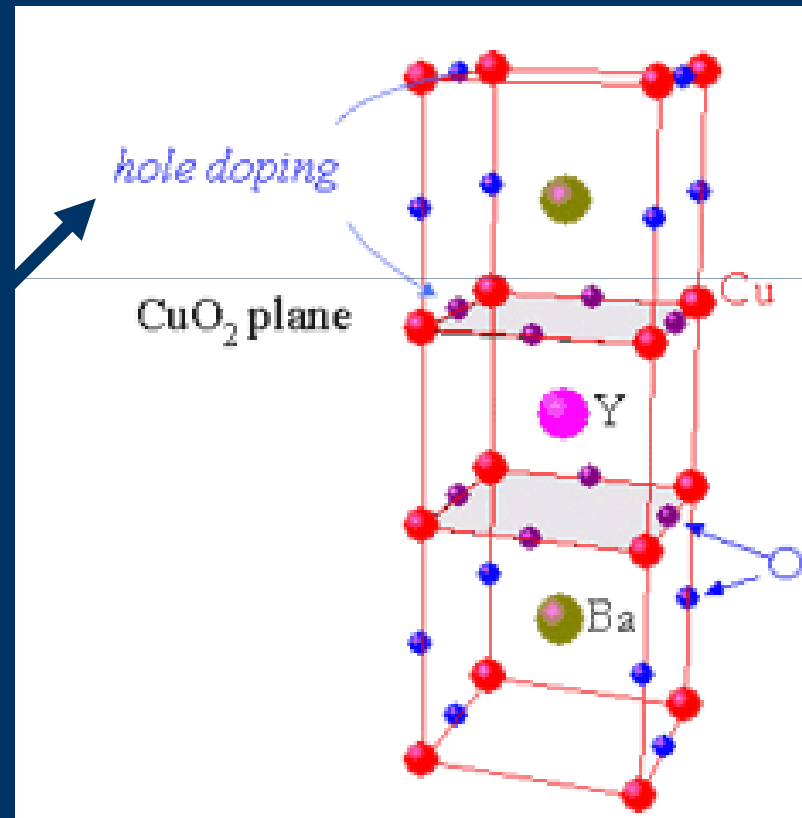
Temperatura de transição  
supercondutora (K)



# Supercondutores de alta temperatura crítica

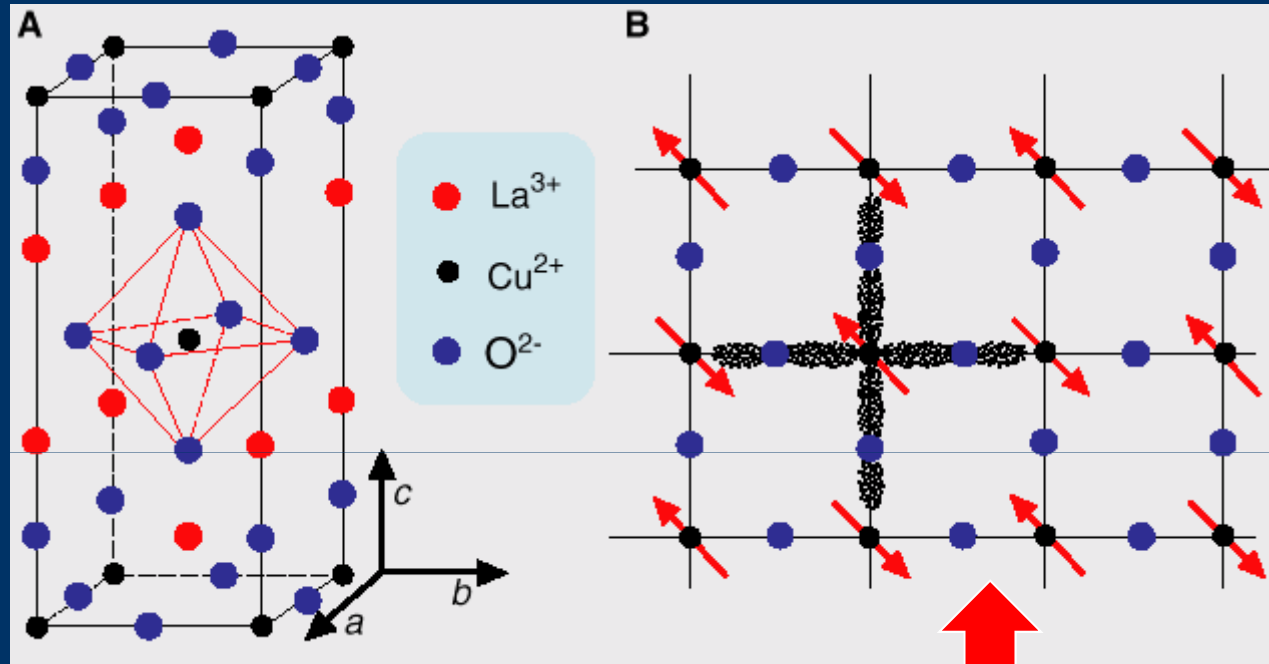


Reservatório de elétrons ou buracos



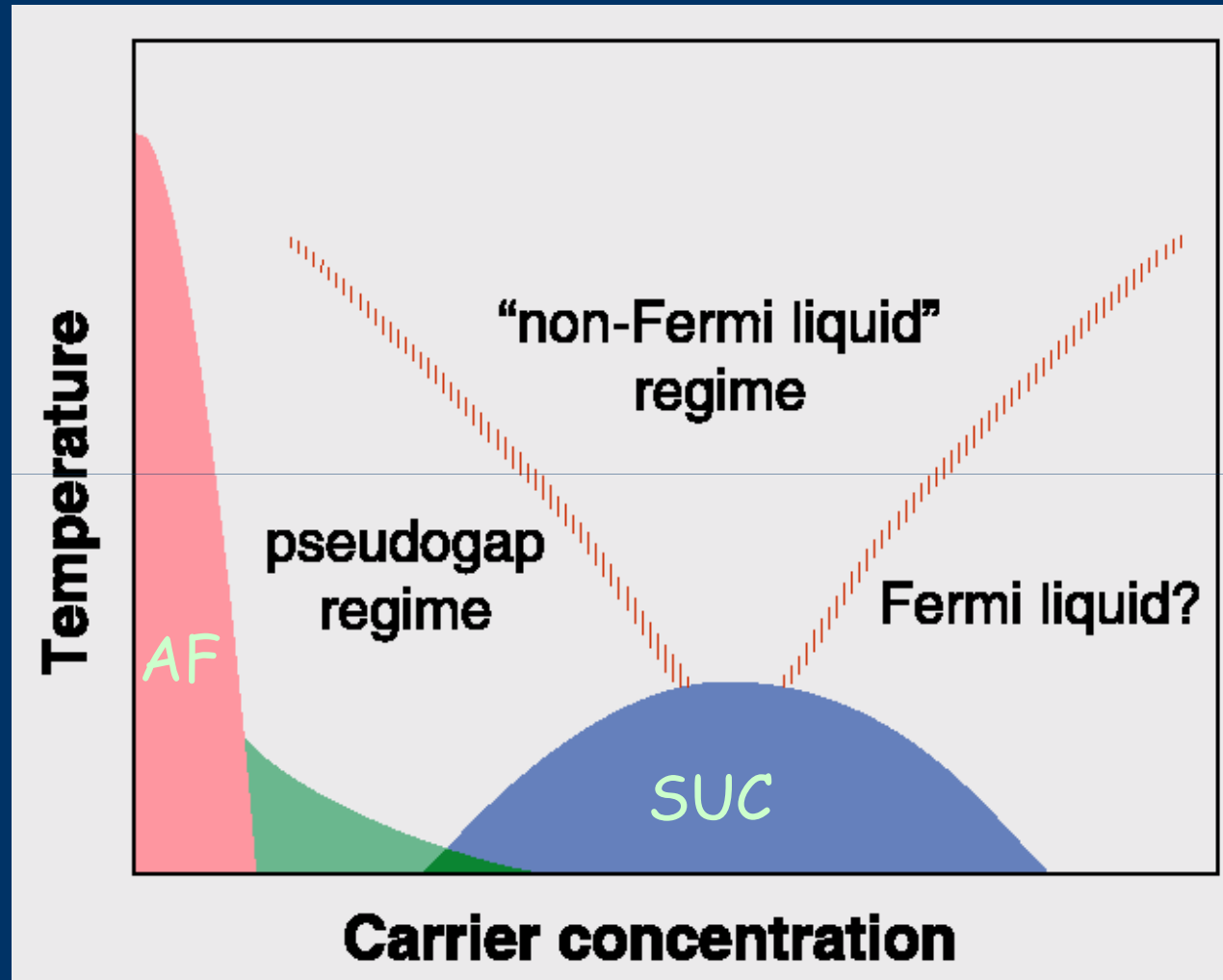


# Sem dopagem



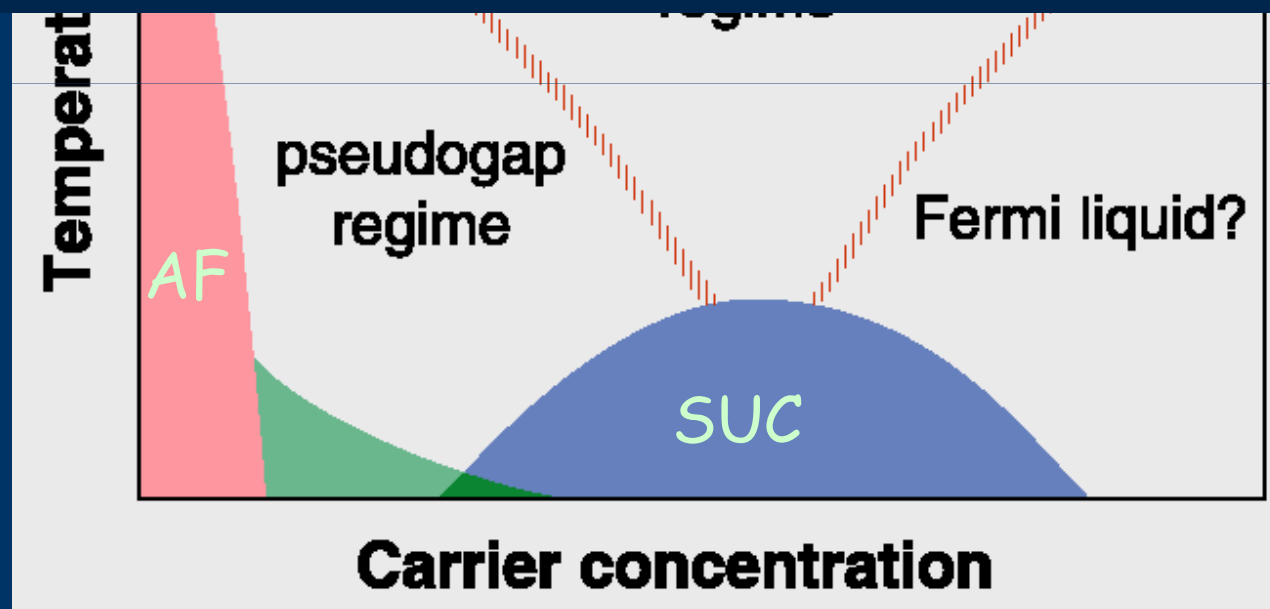
Isolante de Mott  
ANTIFERROMAGNÉTICO

# Diagrama de fases



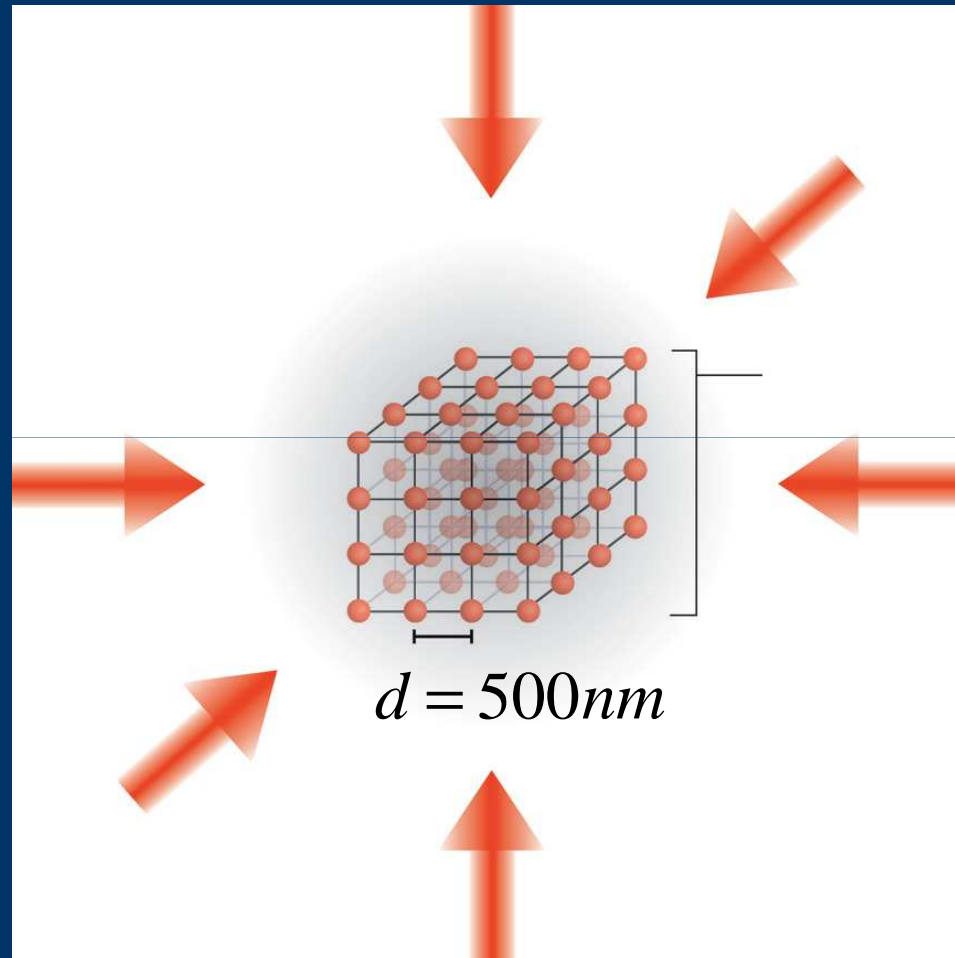
# Diagrama de fases

Colapso de 3 paradigmas:  
Teoria de bandas  
Teoria BCS  
Teoria de Landau para líquidos de fermi



**Um modelo tão simples quanto  
o modelo de Hubbard pode  
descrever a  
Física dos supercondutores de  
alta temperatura?**

# *Emulation* of Hubbard model in Optical Lattices



# Modelo **mais** simples a incorporar as correlações eletrônicas

Simple demais?

Uma única banda

Correlação eletrônica intra-sítio

Hopping de primeiros vizinhos

Sem desordem

# Modelo **mais** simples a incorporar as correlações eletrônicas

Simple demais?

Não em redes óticas!

Uma única banda

Correlação eletrônica intra-sítio

Hopping de primeiros vizinhos

Sem desordem

# Férmions fortemente correlacionados

Ótica



Matéria condensada

Redes óticas



Núcleo atômico +  
elétrons de caroço

Estados Hiperfinos



$n_{\uparrow}$  e  $n_{\downarrow}$

Scattering length



Intensidade da interação



# Modelo de Hubbard

$U/t$  e  $T/t$



$V_0/E_R$  e  $T/E_R$

$$t = E_R \frac{4}{\sqrt{\pi}} \left( \frac{V_0}{E_R} \right)^{\frac{3}{4}} \exp\left(-2\sqrt{\frac{V_0}{E_R}}\right)$$

$$U = E_R 4\sqrt{2\pi} \frac{a_s}{\lambda} \left( \frac{V_{\perp}}{E_R} \right)^{\frac{1}{4}} \left( \frac{V_0}{E_R} \right)^{\frac{1}{2}}$$

U positivo ou negativo!

**Porém...**

**Quanto resfriar? Como resfriar?**

**Como lidar com uma densidade que varia ao longo da armadilha?**

# Fermions in 3D optical lattices: Cooling protocol to obtain Antiferromagnetism

tclp@if.ufrj.br



Richard Scalettar



**QMC+LDA**

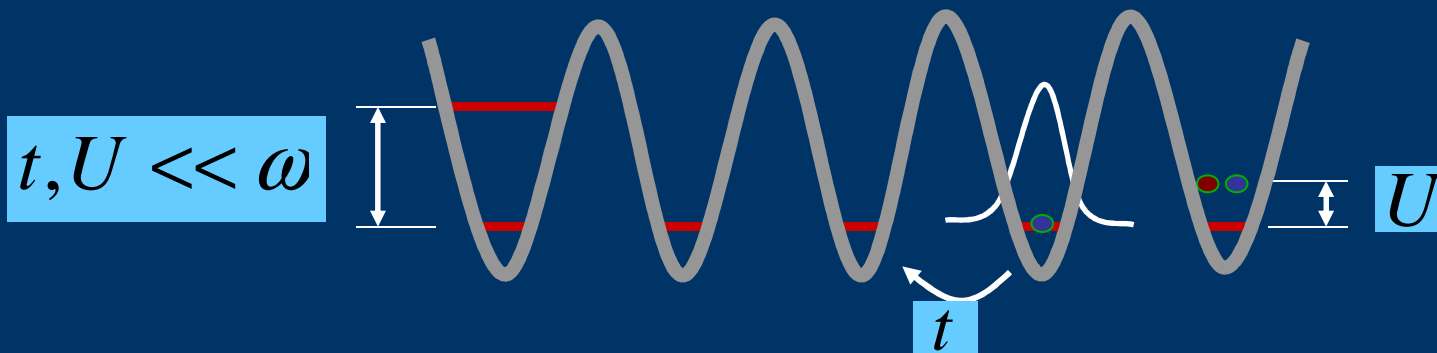
Yen Lee Loh  
Nandini Trivedi  
Mohit Randeria



Phys. Rev. Lett. 107, 086401 (11)

# Simulações com a armadilha

$$H = -t \sum_{\langle r, r' \rangle \sigma} (c_{r\sigma}^+ c_{r'\sigma} + c_{r'\sigma}^+ c_{r\sigma}) + U \sum_r n_{r\uparrow} n_{r\downarrow} + \sum_{r, \sigma} (\alpha_t r^2 - \mu_0) n_{r\sigma}$$



$$\alpha_t = \frac{1}{2} m \omega_0^2 d^2$$

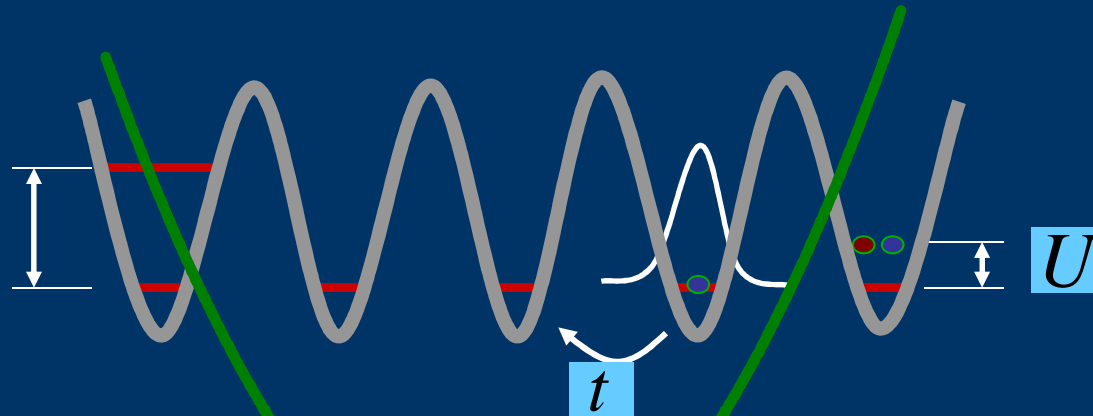
$$\frac{E_t}{t} = \frac{\alpha_t}{t} \left( \frac{3N}{8\pi} \right)^{\frac{2}{3}}$$

*Dimensionless compression*

# Simulações com a armadilha

$$H = -t \sum_{\langle r, r' \rangle \sigma} (c_{r\sigma}^+ c_{r'\sigma} + c_{r'\sigma}^+ c_{r\sigma}) + U \sum_r n_{r\uparrow} n_{r\downarrow} + \sum_{r, \sigma} (\alpha_t r^2 - \mu_0) n_{r\sigma}$$

$$t, U \ll \omega$$



$$\alpha_t = \frac{1}{2} m \omega_0^2 d^2$$

$$\frac{E_t}{t} = \frac{\alpha_t}{t} \left( \frac{3N}{8\pi} \right)^{\frac{2}{3}}$$

*Dimensionless compression*

# Simulações com a armadilha

$$H = -t \sum_{\langle r, r' \rangle \sigma} (c_{r\sigma}^+ c_{r'\sigma} + c_{r'\sigma}^+ c_{r\sigma}) + U \sum_r n_{r\uparrow} n_{r\downarrow} + \sum_{r, \sigma} (\alpha_t r^2 - \mu_0) n_{r\sigma}$$



$$\alpha_t = \frac{1}{2} m \omega_0^2 d^2$$

$$\frac{E_t}{t} = \frac{\alpha_t}{t} \left( \frac{3N}{8\pi} \right)^{\frac{2}{3}}$$

*Dimensionless compression*

# Potencial químico dependente da posição

$$\mu(r) = \mu_0 - \alpha_t \frac{r^2}{d^2}$$

$\mu_0$

Controla o número de átomos na armadilha

$N \sim 10^4 - 10^6$

$$\alpha_t = \frac{1}{2} m \omega_0^2 d^2$$

Controla a compressão da armadilha

$$\nu = [20 - 120] \text{ Hz} \Rightarrow \alpha_t = [0.0006 - 0.21] \text{ t}$$

40K

LDA

Armadilha esférica

$\mu(r)$



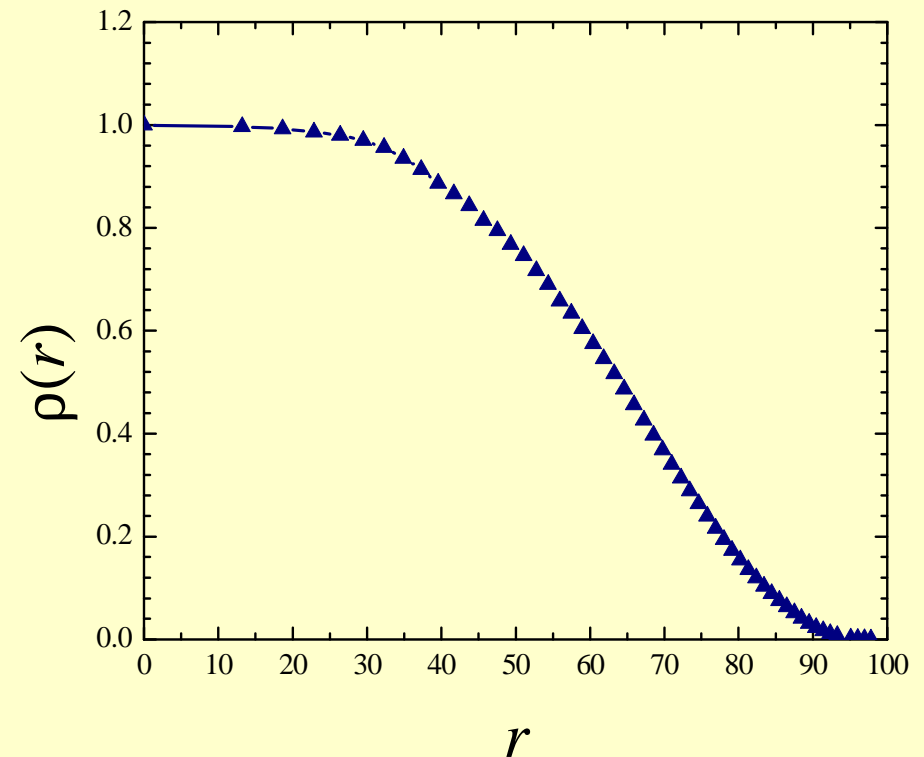
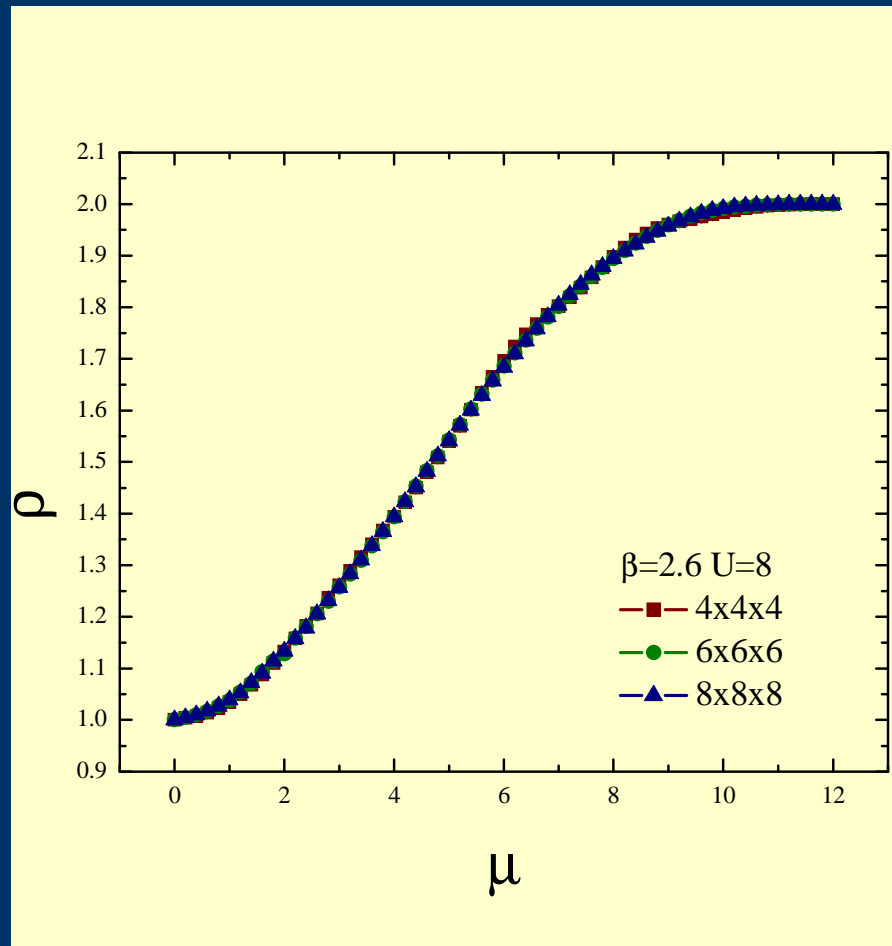
$\rho(r)$



$$N = \int dr^3 \rho(r) = \frac{4\sqrt{2}\pi}{(m\omega^2)^{3/2}} \int_{-\infty}^{\mu_0} d\mu \sqrt{\mu_0 - \mu} \rho(\mu)$$

# Potencial químico dependente da posição

$$\rho(\mu) \longrightarrow \mu(r) = \mu_0 - \alpha_t \frac{r^2}{d^2} \longrightarrow \rho(r)$$





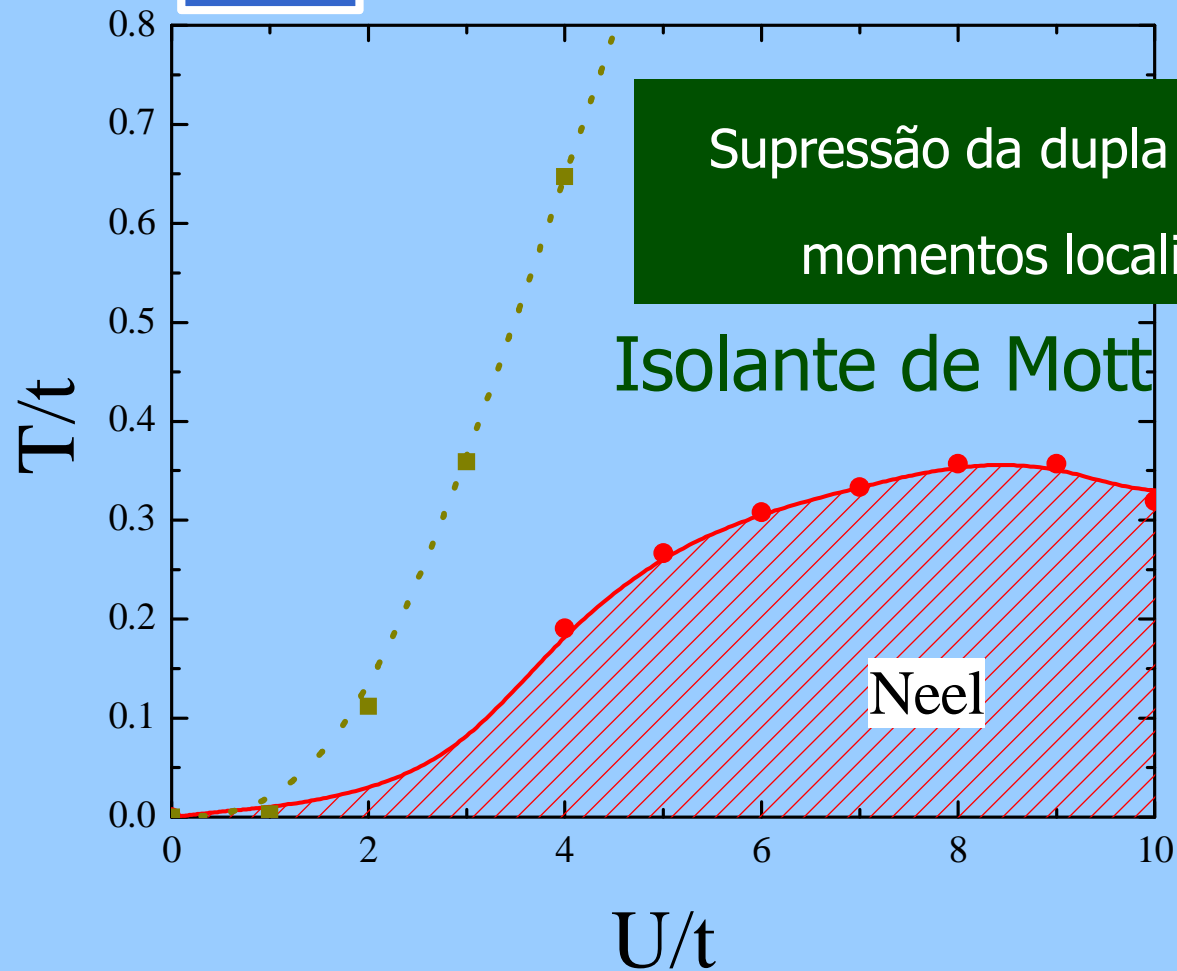
# 1º passo

**Mais simples!**

**O que acontece no sistema homogêneo, sem armadilha?**

# Sistema 3D sem armadilha

$\rho=1$



Supressão da dupla ocupação  
momentos localizados

Isolante de Mott

Neel

# Como determinar T?

## Onset of Fermi Degeneracy in a Trapped Atomic Gas

B. DeMarco and D. S. Jin\*†

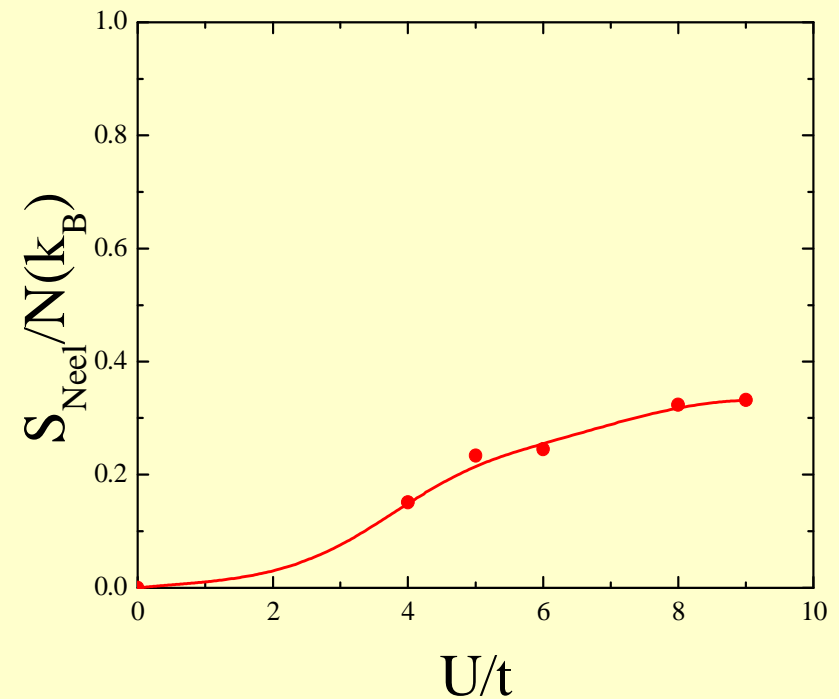
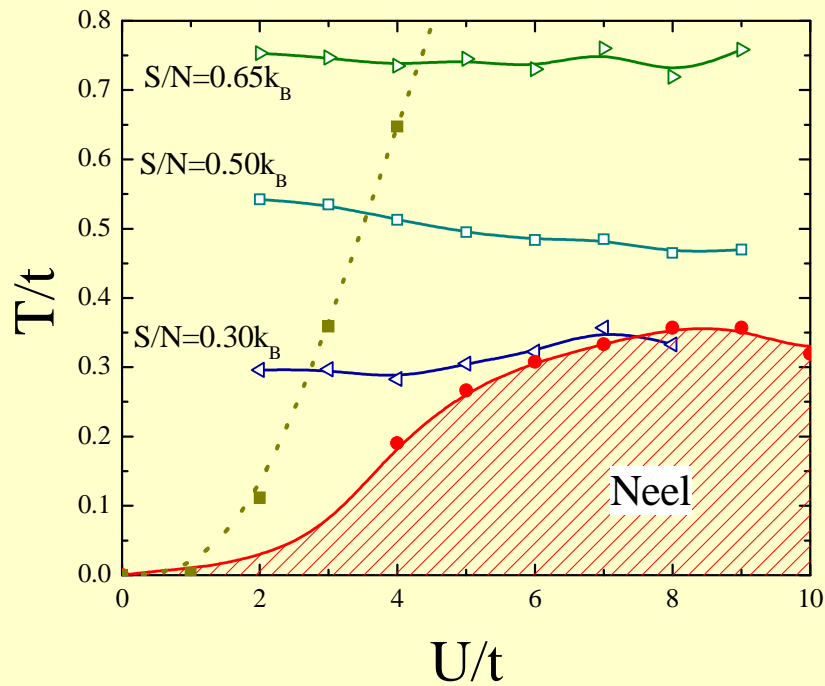
20% systematic uncertainty in  $T/T_F$

Nestes sistemas T não é bem conhecida.

Suposição: o experimento é realizado adiabaticamente

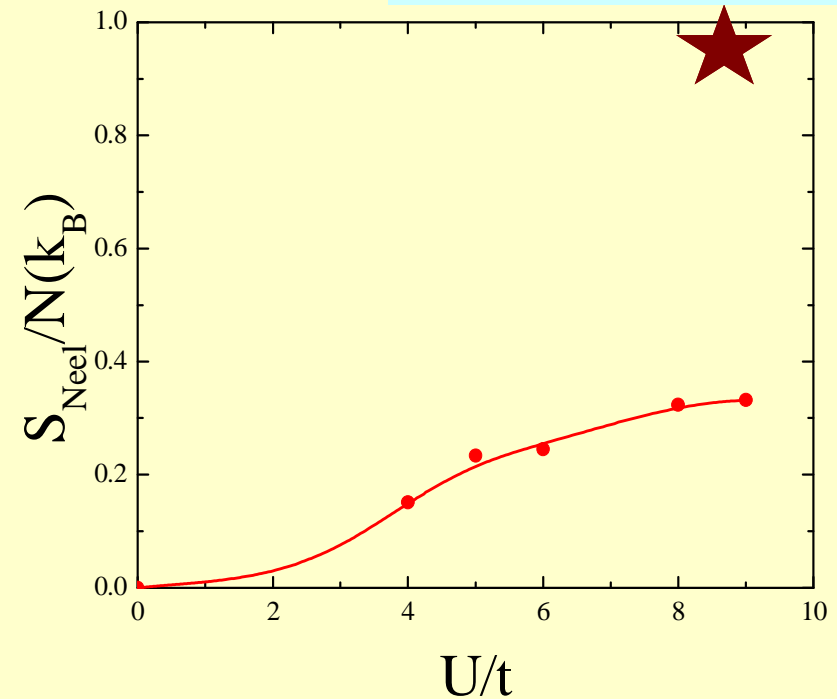
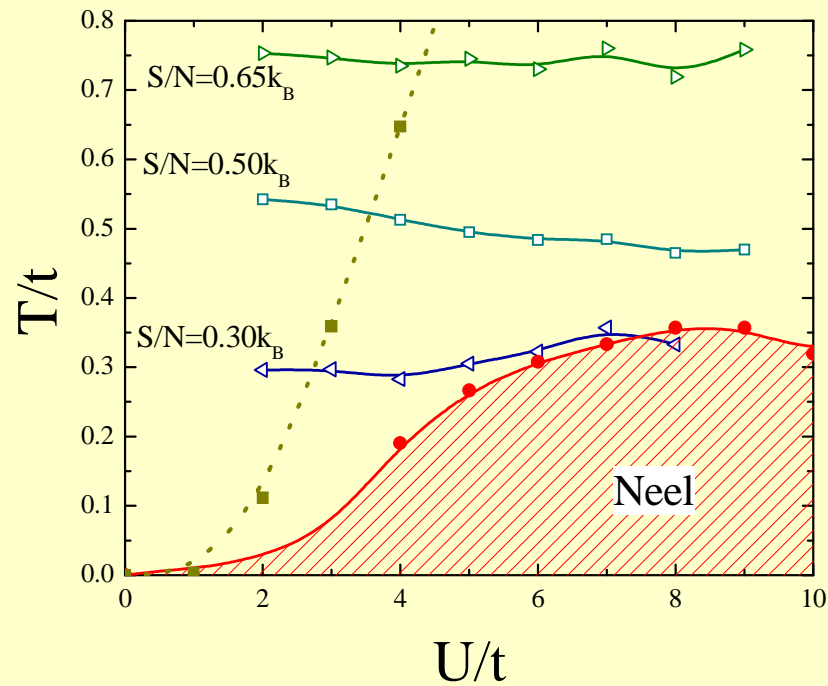
A entropia é a grandeza relevante

# Restrições para a entropia sem o confinamento $\rho=1$



# Restrições para a entropia sem o confinamento

Experimentos



# Simulações com a armadilha

$$H = -t \sum_{\langle r, r' \rangle \sigma} (c_{r\sigma}^+ c_{r'\sigma} + c_{r'\sigma}^+ c_{r\sigma}) + U \sum_r n_{r\uparrow} n_{r\downarrow} + \sum_{r, \sigma} (\alpha_t r^2 - \mu_0) n_{r\sigma}$$



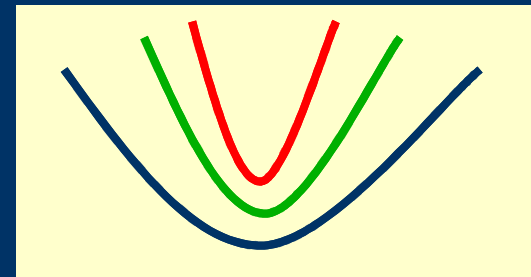
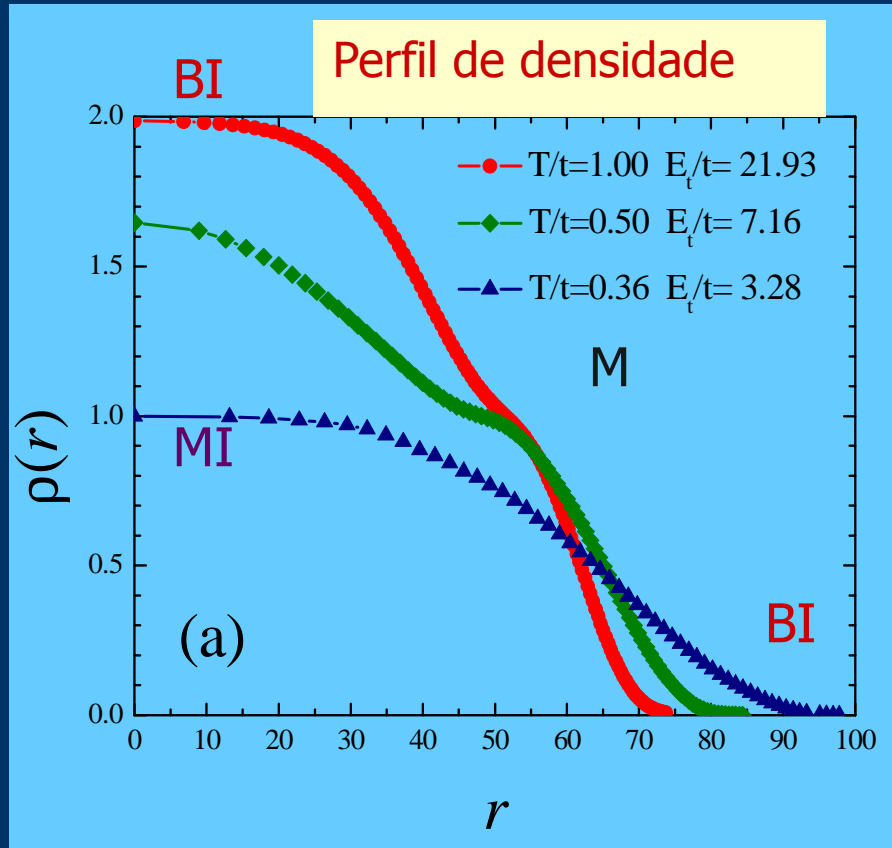
$$\alpha_t = \frac{1}{2} m \omega_0^2 d^2$$

$$\frac{E_t}{t} = \frac{\alpha_t}{t} \left( \frac{3N}{8\pi} \right)^{\frac{2}{3}}$$

Dimensionless compression

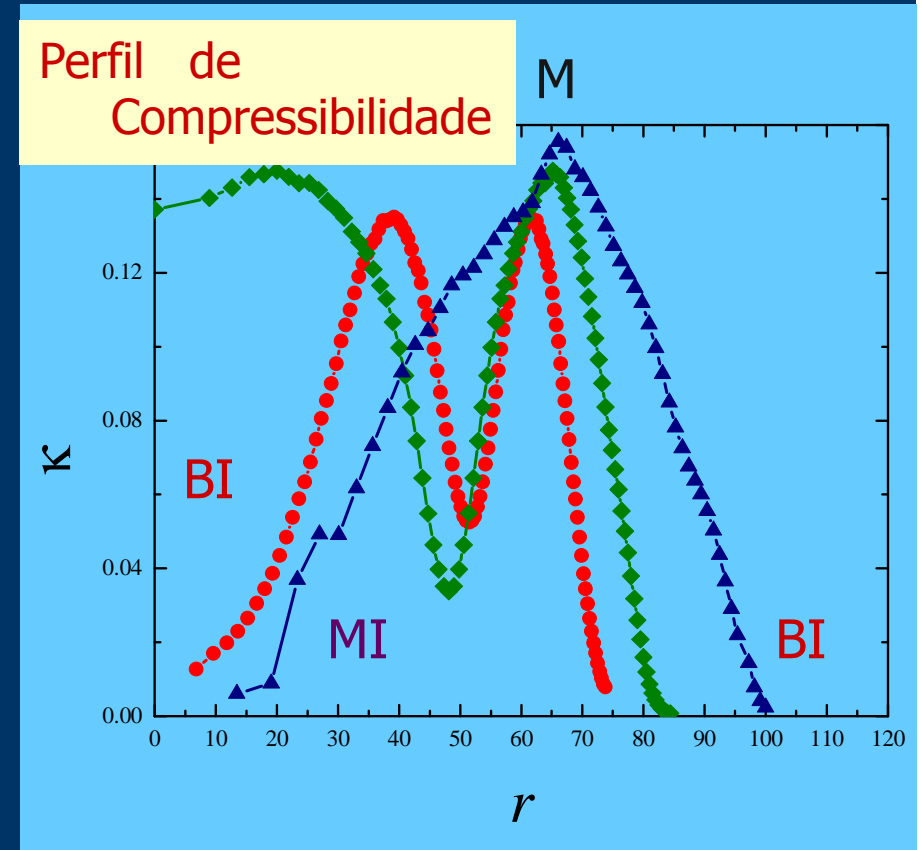
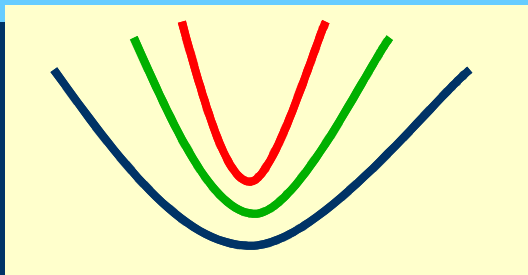
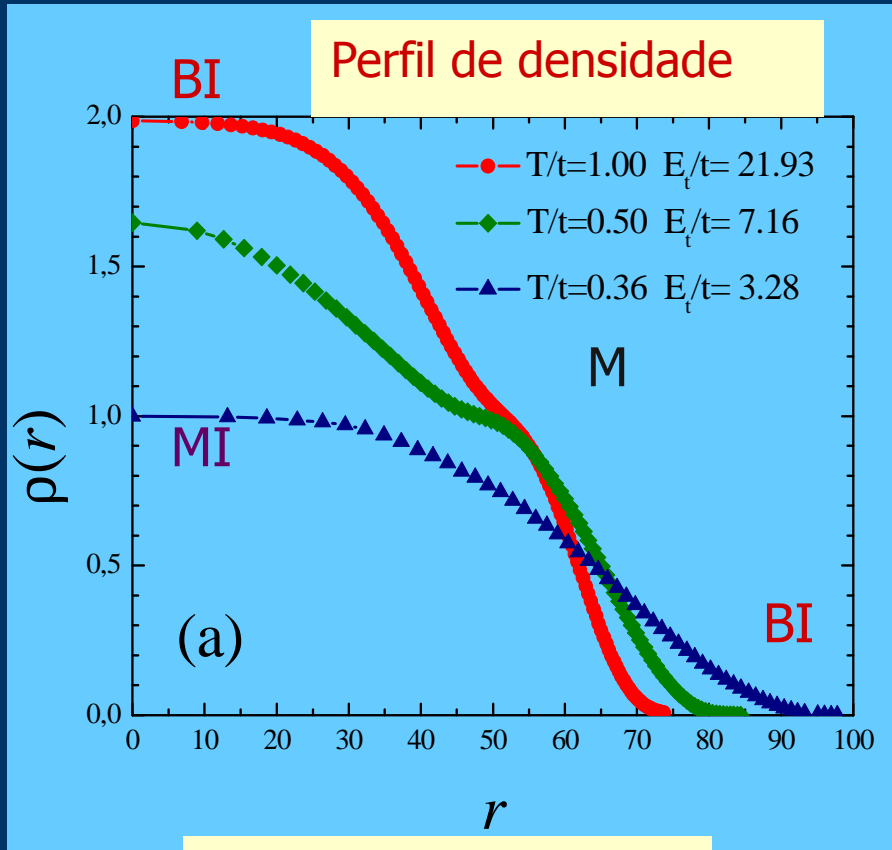
# Perfil de densidade

$S/N=0.65$   $k_B$   $N=1.3 \times 10^6$   $U/t=8$



# Descomprimindo com S/N fixo

S/N=0.65  $k_B$   $N=1.3 \times 10^6$   $U/t=8$



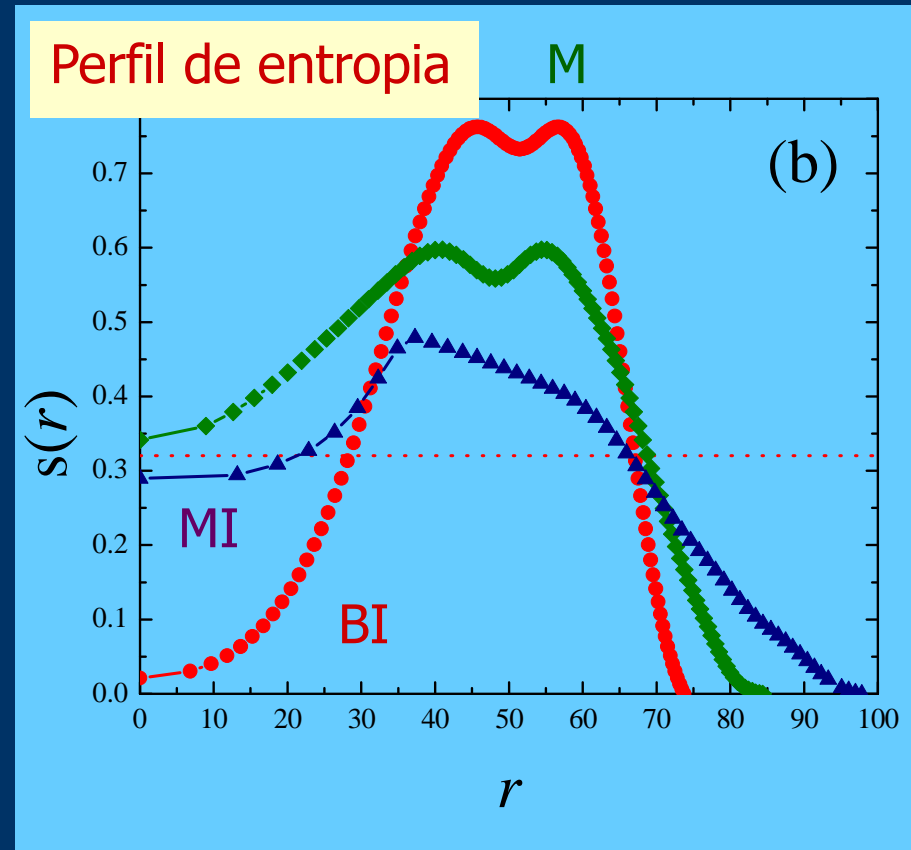
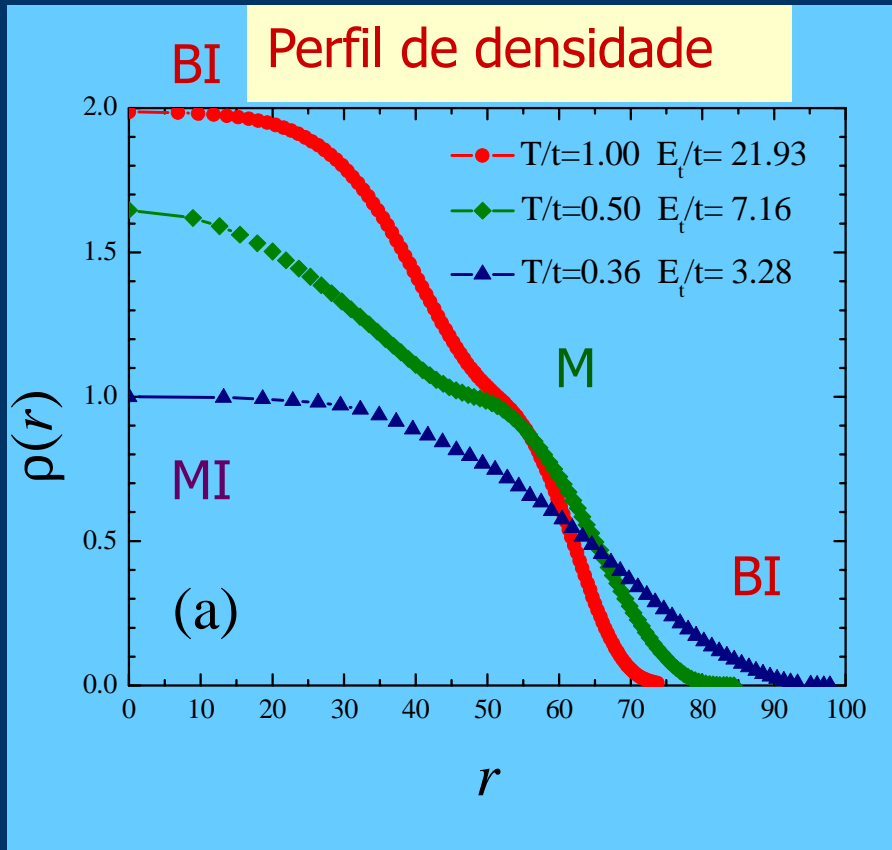
$$\kappa = -\frac{1}{m\omega^2 r} \frac{d\rho}{dr} = -\frac{1}{2\alpha r} \frac{d\rho}{dr}$$



# Resfriando por descompressão com S/N fixo

$S/N=0.65$   $k_B$   $N=1.3 \times 10^6$   $U/t=8$

Redistribuição da entropia



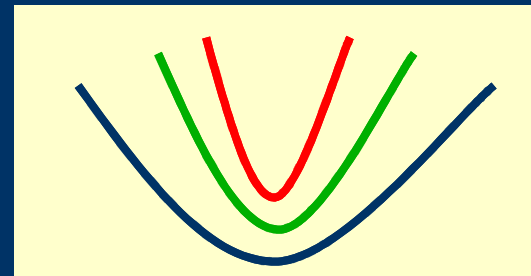
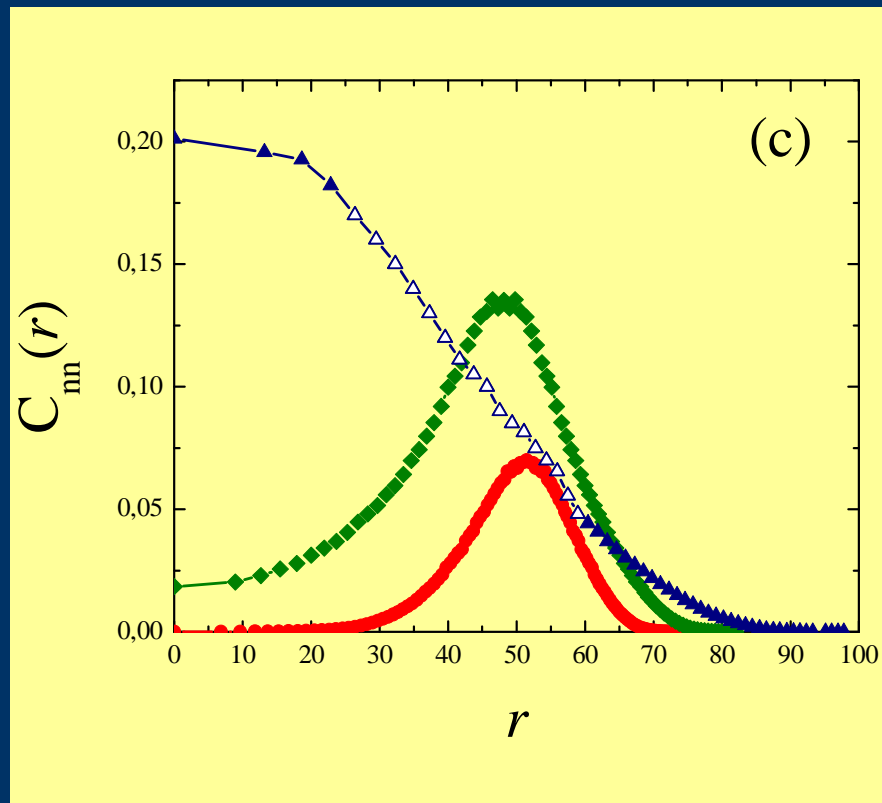
BI  $\Rightarrow$  entropia  $\rightarrow 0$

M  $\Rightarrow$  sorvedouros de entropia

MI  $\Rightarrow$  baixa entropia, mas finita devido a ondas de spin

# Correlações AF

$$C_{mn}(r) = \left| \left\langle \vec{S}_r \cdot \vec{S}_{r+\delta} \right\rangle \right|$$

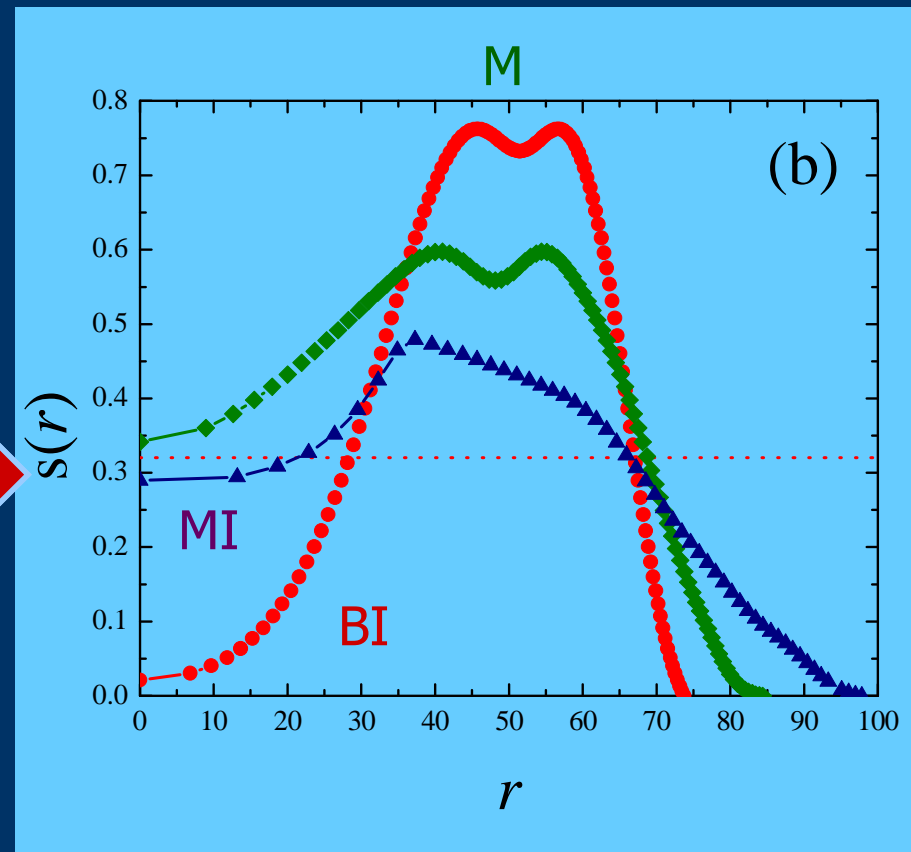


# Observando AF

$S/N=0.65 k_B$   $N=1.3 \times 10^6$   $U/t=8$

Mesmo quando a entropia total por sítio está acima da entropia crítica para observar AF no sistema homogêneo, a entropia no centro da armadilha pode estar abaixo de

$$s_{\text{Neel}} \sim 0.3 k_B$$



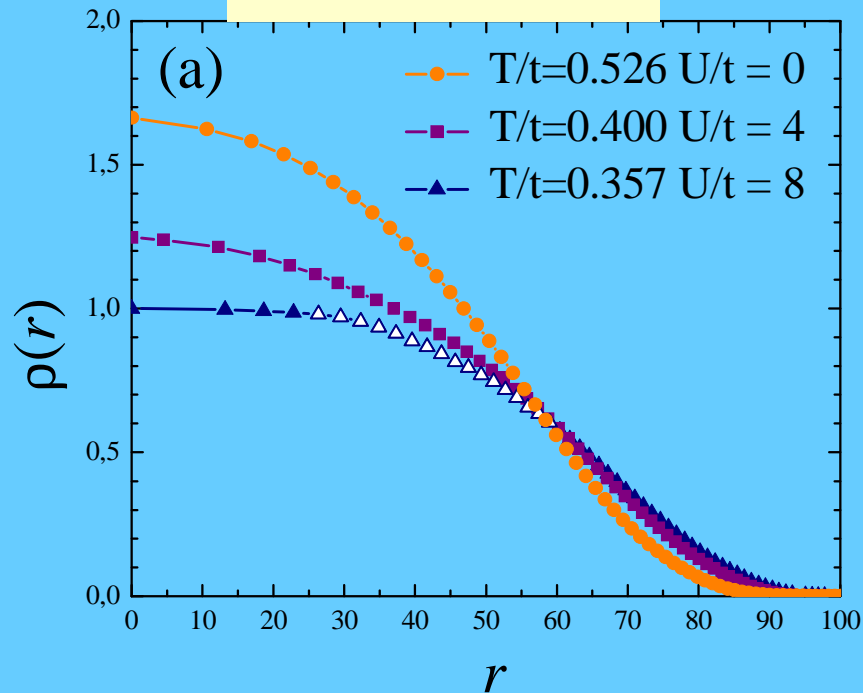
$$\kappa = -\frac{1}{m\omega^2 r} \frac{d\rho}{dr} = -\frac{1}{2\alpha r} \frac{d\rho}{dr}$$

# Resfriar aumentando $U$ com $S/N$ fixo na armadilha

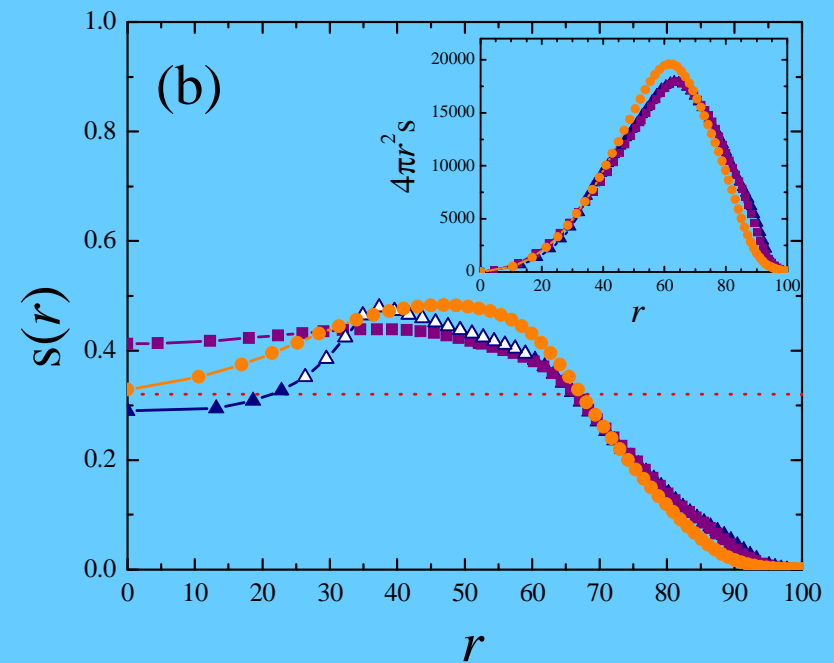
$S/N = 0.65 k_B$   $N = 1.3 \times 10^6$   
 $\alpha_t = 0.00115t$   $E_t/t = 3.28$

$$S = 4\pi \int r^2 dr s(r)$$

density profile



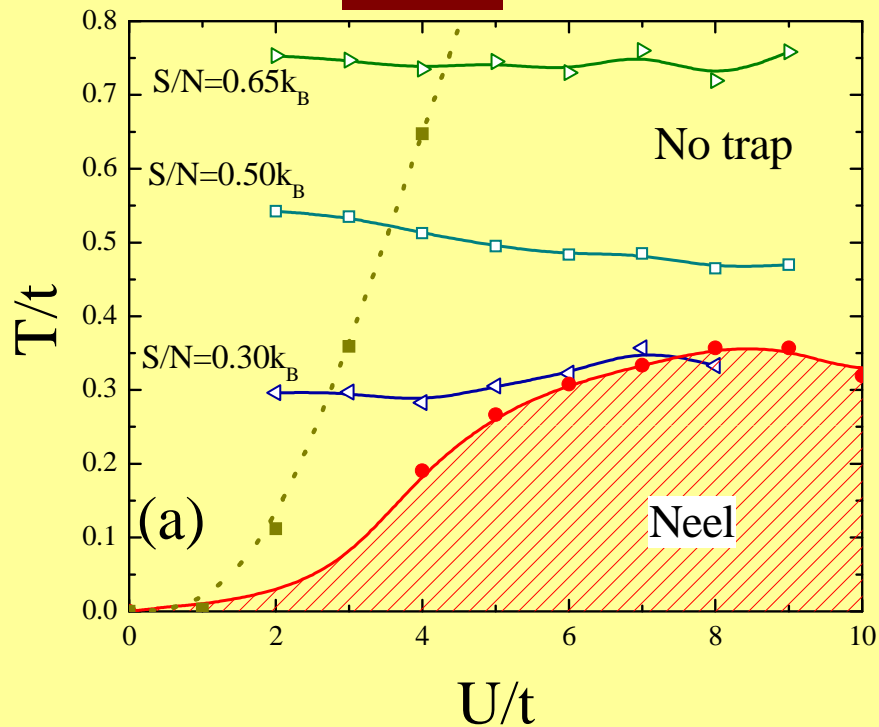
entropy profile



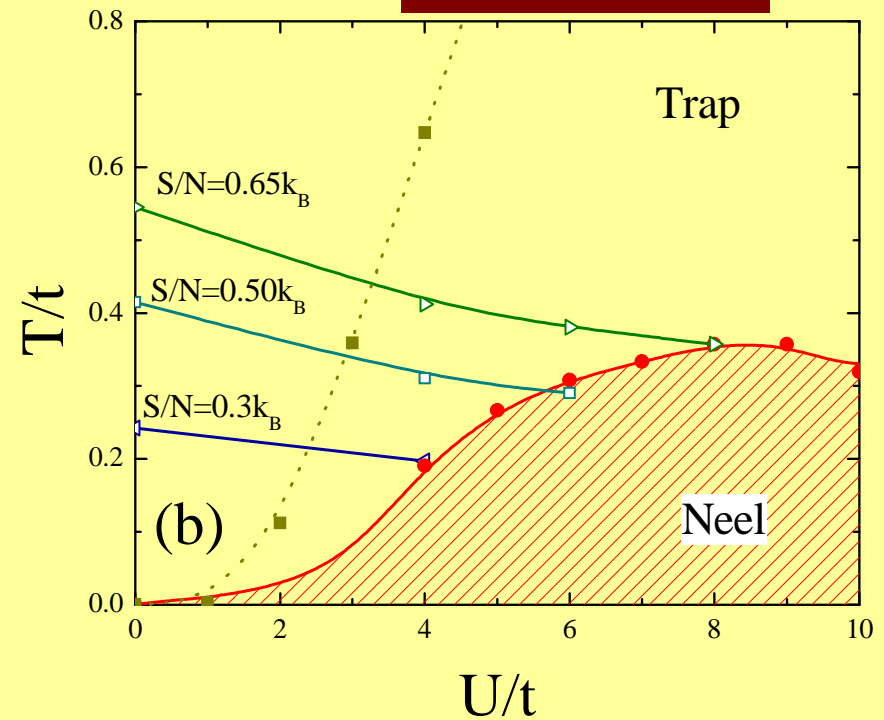
Quando  $U$  aumenta a nuvem expande e a temperatura cai

# Restrições para a entropia

$\alpha_t=0$



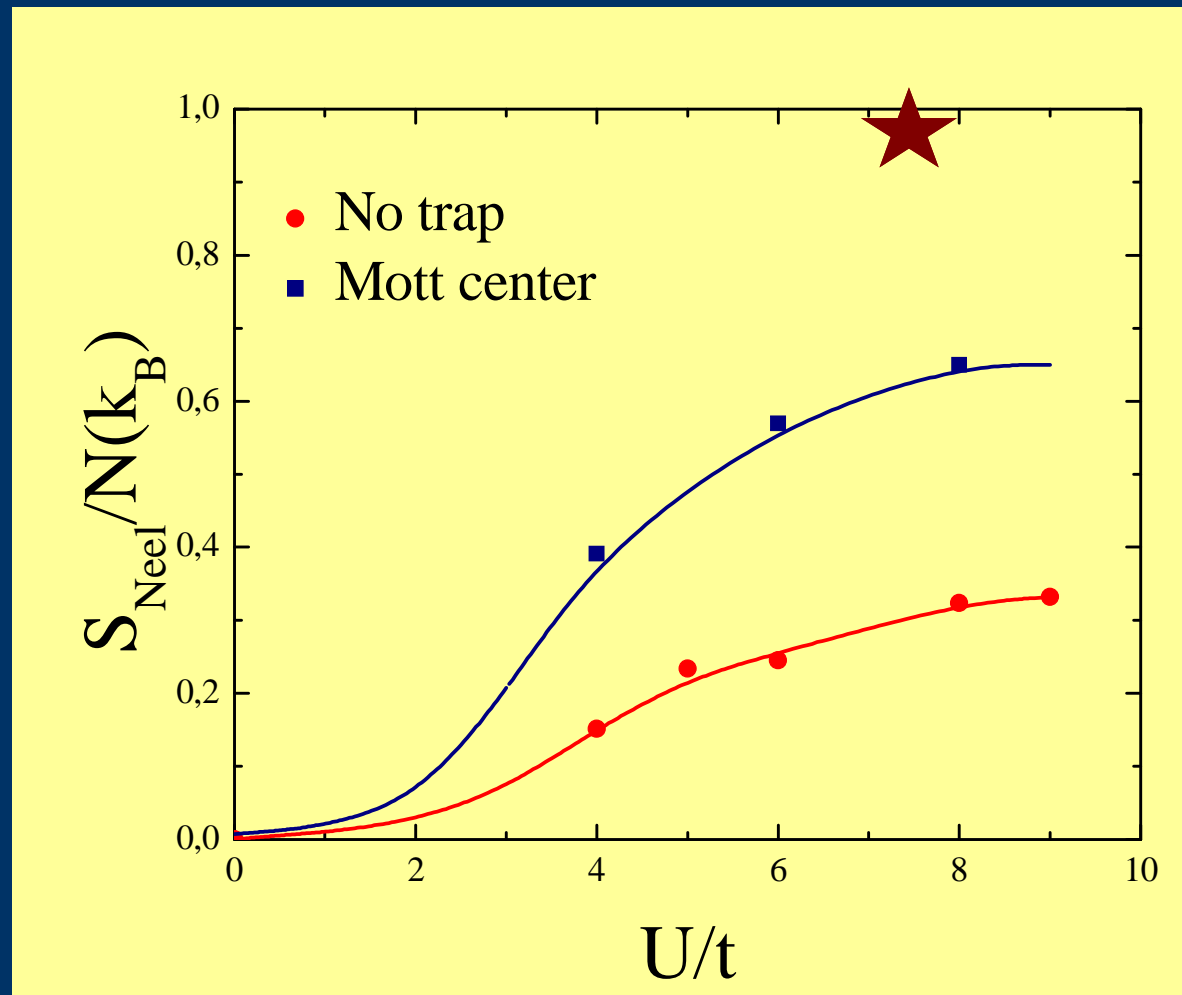
$\alpha_t=0.00115$



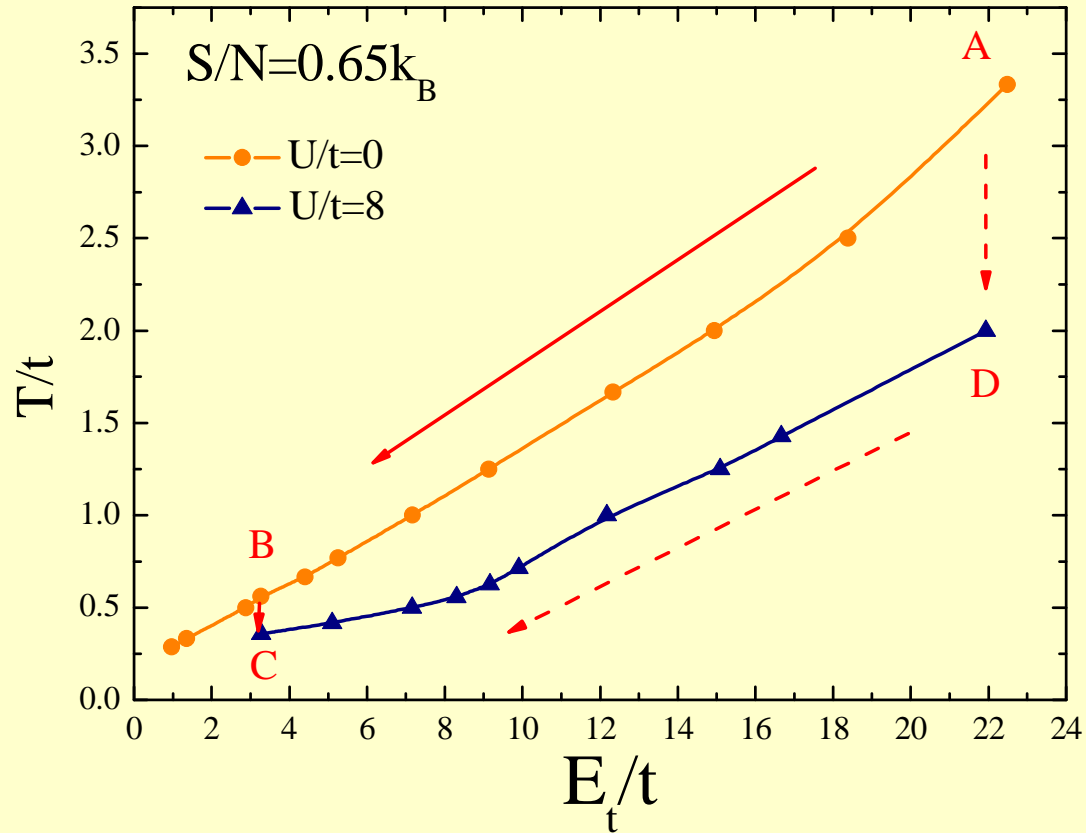
Isentropica  $\sim$  isoterma

Isentropica  $\rightarrow$  resfriamento  
Pomeranchuk

# Restrições para a entropia



# Protocolo



Parâmetros ótimos

$U/t = 8$

$S/Nk_B=0.65$

Resfriar

descomprimindo a  
armadilha

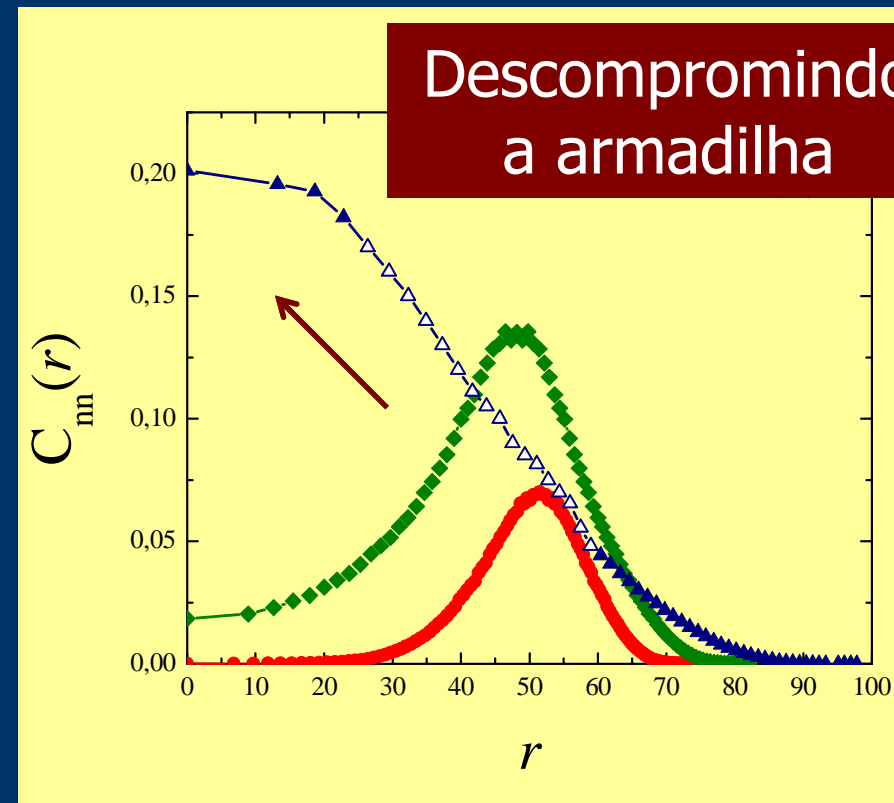
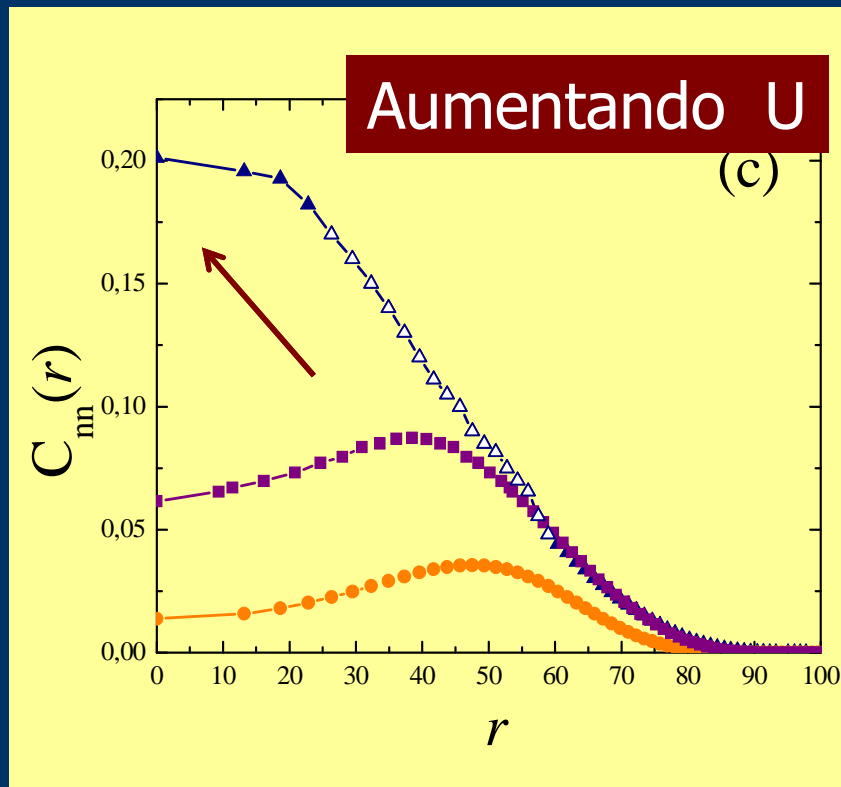
Resfriar aumentando  $U$

$$\frac{E_t}{t} = \frac{\alpha_t}{t} \left( \frac{3N}{8\pi} \right)^{\frac{2}{3}}$$

Dimensionless compression

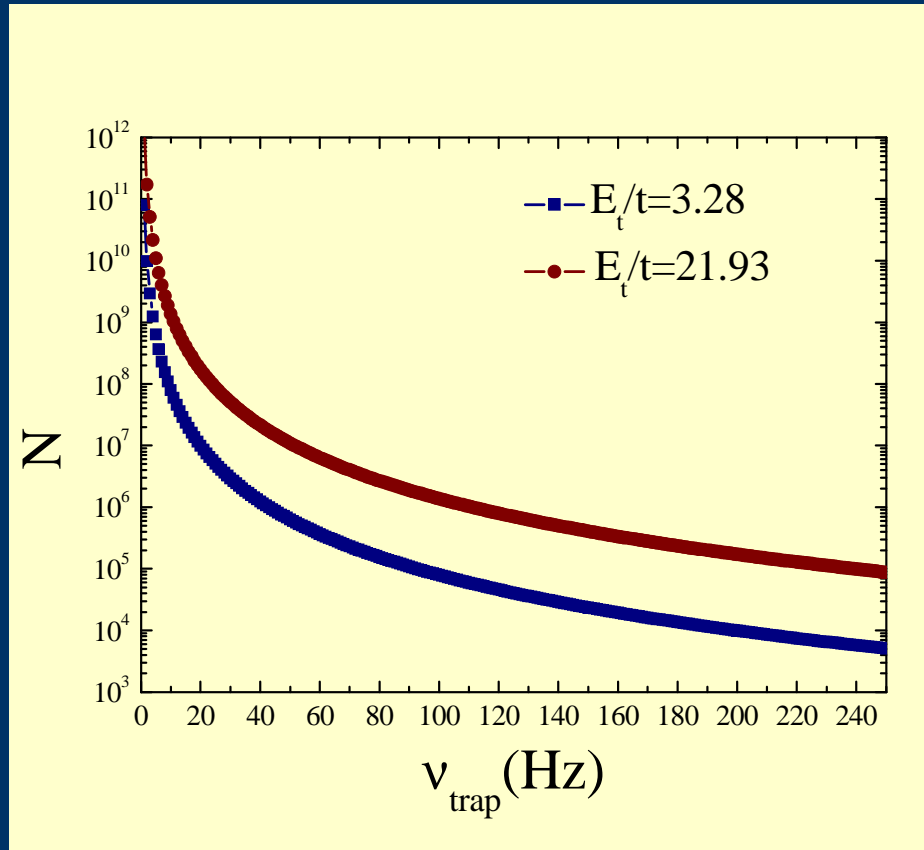
# Aumento das correlações antiferromagnéticas

$$C_{nn}(r) = \left| \left\langle \vec{S}_r \cdot \vec{S}_{r+\delta} \right\rangle \right|$$





# O que dizer aos experimentais?



Experimentos  
I Bloch

Para observar AF

$S/N = 1k_B \Leftrightarrow$   
 $T_i = 0.1 T_F$

$S/N = 0.65k_B \Leftrightarrow$   
 $T_i = 0.06 T_F$

$\nu_{\text{trap}} = 10-120 \text{ Hz}$

$\nu_{\text{trap}} = 10-120 \text{ Hz}$

$N = 1.5-2.5 \times 10^5$   
átomos

$N = 10^6$  átomos

$U/t > 8$

$U/t = 8$

$$\frac{E_t}{t} = \frac{\alpha_t}{t} \left( \frac{3N}{8\pi} \right)^{\frac{2}{3}}$$

Dimensionless compression

40K

# Conclusões

Sistemas armadilhados são bastante diferentes do sistema homogêneo

Resfriamento Pomeranchuk

$$S/N^{\text{Neel}}_{\text{trap}} > S/N^{\text{Neel}}_{\text{homogeneous}}$$

Para observar antiferromagnetismo

$$S/N \sim 1k_B \iff T_i = 0.1 T_F$$

$$S/N = 0.65k_B \iff T_i = 0.06 T_F$$

$N = 10^5$  átomos

$N = 10^6$  átomos

$$U/t > 8$$

$$U/t = 8$$

# Agradecimentos



Ohio Supercomputer Center

Em busca de estudantes e pós-docs!

[tclp@if.ufrj.br](mailto:tclp@if.ufrj.br)